

МИНИСТЕРСТВО ОБРАЗОВАНИЯ И НАУКИ РОССИЙСКОЙ ФЕДЕРАЦИИ  
Федеральное государственное бюджетное образовательное учреждение  
высшего образования  
«Магнитогорский государственный технический университет им. Г.И. Носова»

УТВЕРЖДАЮ:  
Директор института  
С.Е. Гавришев  
« 19 » сентября 2017 г.



## РАБОЧАЯ ПРОГРАММА ДИСЦИПЛИНЫ

### ГОРНЫЕ МАШИНЫ И ОБОРУДОВАНИЕ

Специальность  
21.05.04 Горное дело

Специализация  
Обогащение полезных ископаемых

Уровень высшего образования - специалитет

Форма обучения  
Заочная

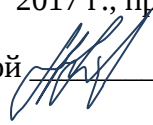
Институт  
Кафедра  
Курс

Горного дела и транспорта  
Горных машин и транспортно-технологических комплексов  
5

Магнитогорск  
2017 г.

Рабочая программа составлена на основе ФГОС ВО по специальности 21.05.04 Горное дело, утвержденного приказом МОиН РФ от 17.10.2016 г. № 1298.

Рабочая программа рассмотрена и одобрена на заседании кафедры горных машин и транспортно-технологических комплексов «01» сентября 2017 г., протокол № 1.

Зав. кафедрой  / А.Д. Кольга /

Рабочая программа одобрена методической комиссией института горного дела и транспорта «19» сентября 2017 г., протокол № 1.

Председатель  / С.Е. Гавришев /

Согласовано:

Зав. кафедрой Геологии, маркшейдерского дела и обогащения полезных ископаемых

\_\_\_\_\_ И.А. Гришин

Рабочая программа составлена: доцент кафедры ГМиГТК, к.т.н.

 / Б.М. Габбасов

Рецензент:

заведующий лаборатории  
ООО «УралГеоПроект»

 / Ар.А. Зубков /



## 1 Цели освоения дисциплины (модуля)

Целями освоения дисциплины (модуля) «Горные машины и оборудование» являются: формирование и развитие знаний процессов и закономерностей работы горных машин, механизмов и оборудования, используемого в условиях всех видов горных работ.

## 2 Место дисциплины (модуля) в структуре ООП подготовки специалиста

Дисциплина «Горные машины и оборудование» входит в базовую часть образовательной программы.

Дисциплина Горные машины и оборудование:

- базируется на полученных ранее студентом знаниях при изучении следующих дисциплин (входящие дисциплины): Математика, Физика, Теоретическая механика, Сопроотивления материалов, Прикладная механика, Конструкционные и инструментальные материалы в горном производстве;

- необходима как предшествующее для изучения следующих дисциплин (выходящие дисциплины): Горные машины и оборудование подземных горных работ; Транспортные системы горных предприятий; Стационарные машины (шахт, карьеров и обогатительных фабрик); Механическое оборудование обогатительных фабрик; выполнения выпускной квалификационной работы.

## 3 Компетенции обучающегося, формируемые в результате освоения дисциплины (модуля) и планируемые результаты обучения

В результате освоения дисциплины (модуля) «Горные машины и оборудование» обучающийся должен обладать следующими компетенциями:

Структурный элемент компетенции	Планируемые результаты обучения
<b>ПК-14 готовностью участвовать в исследованиях объектов профессиональной деятельности и их структурных элементов</b>	
Знать	- основные составные части машин и оборудования непрерывного транспорта; - принципы функционирования машин и оборудования непрерывного транспорта; - технические характеристики и параметры машин и оборудования непрерывного транспорта.
Уметь	- выделять в конструкции машины непрерывного транспорта основные составные части; - разрабатывать кинематические схемы горных машин и оборудования; - оценивать параметры горных машин и оборудования.
Владеть	- методикой структурно-функционального анализа горных машин и оборудования; - методиками расчета основных параметров горных машин и оборудования; - методиками проектирования деталей и узлов горных машин и оборудования.
<b>ОПК-6: готовностью использовать научные законы и методы при оценке состояния окружающей среды в сфере функционирования производств по эксплуатационной разведке, добыче и переработке твердых полезных ископаемых, а также при строительстве и эксплуатации подземных объектов</b>	
Знать	- конструкции и принципы действия современных горных машин и оборудования;

Структурный элемент компетенции	Планируемые результаты обучения
	- технические характеристики современных горных машин и оборудования; - перспективные направления развития горных машин и оборудования.
Уметь	- использовать актуальные стандарты и нормативную документацию в области машин и оборудования горных машин и оборудования; - анализировать состояние и перспективы развития машин и оборудования горных машин и оборудования; - использовать современные подходы к анализу машин горных машин и оборудования.
Владеть	- методиками анализа состояния горных машин и оборудования; - современными методиками расчета и проектирования горных машин и оборудования; - навыками поиска и анализа информации о перспективных методах горных машин и оборудования.

#### 4 Структура и содержание дисциплины (модуля)

##### Горные машины и оборудование

Общая трудоемкость дисциплины составляет 4 зачетные единицы 144 часов:

контактная работа – 8,7 акад. часов:

аудиторная – 8 акад. часов;

внеаудиторная – 0,7 акад. часа

самостоятельная работа – 131,4 акад. часа;

- подготовка к зачету – 3,9 часа.

Раздел/ тема дисциплины	Курс	Аудиторная контактная работа (в акад. часах)			Самостоятельная работа студента	Вид самостоятельной работы	Форма текущего контроля успеваемости и промежуточной аттестации	Код компетенции
		Лек.	лаб. зан.	практ. зан.				
1. Тема 1.1 Горные машины и оборудование для разработки месторождений полезных ископаемых подземным способом		ПК-14 ОПК-6						

1.1 Буровые машины		0,6	1,6/0,3И		25	Самостоятельное изучение учебной и научной литературы. Поиск дополнительной информации по теме (работа с библиографическим материалами, с электронными библиотеками и ЭОР, информационно-коммуникационные сети Интернет). Подготовка к лабораторным занятиям. Подготовка к практическому занятию и выполнение практических работ	Индивидуальное собеседование. Индивидуальное сообщение на занятии.	ПК-14 ОПК-6
	5							
1.2 Погрузочно-доставочные машины		0,6	0,6/0,3И		25	Самостоятельное изучение учебной и научной литературы. Поиск дополнительной информации по теме (работа с библиографическим материалами, с электронными библиотеками и ЭОР, информационно-коммуникационные сети Интернет). Подготовка к лабораторным занятиям. Подготовка к практическому занятию и выполнение практических работ	Индивидуальное собеседование. Индивидуальное сообщение на занятии.	ПК-14 ОПК-6
Итого по разделу		1,2	2,2/0,6И		50			
2. Тема 2.1 Горные машины и оборудование для разработки месторождений полезных ископаемых открытым способом		ПК-14 ОПК-6						



3.1 Типы и типоразмеры грохотов, их основные характеристики и принцип действия	5	0,6	0,6/0,7И		21,4	Самостоятельное изучение учебной и научной литературы. Поиск дополнительной информации по теме (работа с библиографическим материалами, с электронными библиотеками и ЭОР, информационно-коммуникационные сети Интернет). Подготовка к лабораторным занятиям. Подготовка к практическому занятию и выполнение практических работ	Индивидуальное собеседование. Индивидуальное сообщение на занятии.	ПК-14 ОПК-6
3.2 Типы и типоразмеры дробилок и мельниц, их основные характеристики и принцип действия		0,5			10	Самостоятельное изучение учебной и научной литературы. Поиск дополнительной информации по теме (работа с библиографическим материалами, с электронными библиотеками и ЭОР, информационно-коммуникационные сети Интернет). Подготовка к лабораторным занятиям. Подготовка к практическому занятию и выполнение практических работ	Индивидуальное собеседование. Индивидуальное сообщение на занятии.	ПК-14 ОПК-6
Итого по разделу		1,1	0,6/0,7И		31,4			ПК-14 ОПК-6
Итого за семестр		4	4/2И		131,4		зачёт	ПК-14 ОПК-6
Итого по дисциплине		4	4/2И		131,4		зачет	ПК-14 ОПК-6

## **5. Образовательные технологии**

1. **Традиционные образовательные технологии** ориентируются на организацию образовательного процесса, предполагающую прямую трансляцию знаний от преподавателя к студенту (преимущественно на основе объяснительно-иллюстративных методов обучения). Учебная деятельность студента носит в таких условиях, как правило, репродуктивный характер.

### **Формы учебных занятий с использованием традиционных технологий:**

Информационная лекция – последовательное изложение материала в дисциплинарной логике, осуществляемое преимущественно вербальными средствами (монолог преподавателя).

Практическое занятие, посвященное освоению конкретных умений и навыков по предложенному алгоритму.

Лабораторная работа – организация учебной работы с реальными материальными и информационными объектами, экспериментальная работа с аналоговыми моделями реальных объектов.

2. **Технологии проблемного обучения** – организация образовательного процесса, которая предполагает постановку проблемных вопросов, создание учебных проблемных ситуаций для стимулирования активной познавательной деятельности студентов.

### **Формы учебных занятий с использованием технологий проблемного обучения:**

Проблемная лекция – изложение материала, предполагающее постановку проблемных и дискуссионных вопросов, освещение различных научных подходов, авторские комментарии, связанные с различными моделями интерпретации изучаемого материала.

Практическое занятие в форме практикума – организация учебной работы, направленная на решение комплексной учебно-познавательной задачи, требующей от студента применения как научно-теоретических знаний, так и практических навыков.

3. **Технологии проектного обучения** – организация образовательного процесса в соответствии с алгоритмом поэтапного решения проблемной задачи или выполнения учебного задания. Проект предполагает совместную учебно-познавательную деятельность группы студентов, направленную на выработку концепции, установление целей и задач, формулировку ожидаемых результатов, определение принципов и методик решения поставленных задач, планирование хода работы, поиск доступных и оптимальных ресурсов, поэтапную реализацию плана работы, презентацию результатов работы, их осмысление и рефлексию.

4. **Интерактивные технологии** – организация образовательного процесса, которая предполагает активное и нелинейное взаимодействие всех участников, достижение на этой основе лично значимого для них образовательного результата. Наряду со специализированными технологиями такого рода принцип интерактивности прослеживается в большинстве современных образовательных технологий. Интерактивность подразумевает субъект-субъектные отношения в ходе образовательного процесса и, как следствие, формирование саморазвивающейся информационно-ресурсной среды.

### **Формы учебных занятий с использованием специализированных интерактивных технологий:**

Лекция «обратной связи» – лекция–провокация (изложение материала с заранее запланированными ошибками), лекция-беседа, лекция-дискуссия, лекция-прессконференция.

5. **Информационно-коммуникационные образовательные технологии** – организация образовательного процесса, основанная на применении специализированных программных сред и технических средств работы с информацией.

### **Формы учебных занятий с использованием информационно-коммуникационных технологий:**

Лекция-визуализация – изложение содержания сопровождается презентацией (демонстрацией учебных материалов, представленных в различных знаковых системах, в т.ч. иллюстративных, графических, аудио- и видеоматериалов).

Практическое занятие в форме презентации – представление результатов проектной или исследовательской деятельности с использованием специализированных программных

сред.

## **6. Учебно-методическое обеспечение самостоятельной работы студентов.**

### ***Перечень теоретических вопросов к лабораторным работам***

#### **Лабораторная работа № 1**

1. Основные типы режущих инструментов
2. Элементы и параметры резцов
3. Конструктивные особенности радиальных резцов
4. Конструктивные особенности тангенциальных резцов
5. Материалы, применяемые при изготовлении резцов
6. Способы крепления резцов на исполнительных органах
7. Конструктивные особенности режущих инструментов проходческих комбайнов.
8. Конструктивные особенности режущих инструментов для бурильных машин
9. Элементы и параметры буровых резцов

#### **Лабораторная работа № 2**

1. Классификация и область применения раздавливающего инструмента
2. Основные типы раздавливающих инструментов
3. Элементы и параметры дисковых шарошек
4. Конструктивные особенности дисковых шарошек и схем их установки на коронках проходческих комбайнов
5. Конструктивные особенности дисковых шарошек и схем их установки на шнеках очистных комбайнов
6. Конструктивные особенности дисковых шарошек и схем их установки на расширителях буровых машин
7. Элементы и параметры штыревых шарошек
8. Элементы и параметры зубчатых шарошек
9. Классификация раздавливающего инструмента для бурения скважин на открытых горных работах
10. Конструктивные особенности опор шарошечных долот
11. Конструктивные особенности одношарошечных долот
12. Конструктивные особенности двух шарошечных долот
13. Конструктивные особенности трех шарошечных долот
14. Конструктивные особенности комбинированных долот

#### **Лабораторная работа № 3**

1. Унифицированный ряд комбайнов РКУ
2. Конструктивные особенности очистного комбайна РКУ 13
3. Конструктивные особенности очистного комбайна РКУ16
4. Конструктивные особенности кинематической схемы РКУ13
5. Конструктивные особенности узлов и механизмов очистного комбайна типа РКУ
6. Конструктивные особенности редуктора режущей части
7. Конструктивные особенности механизма подачи
8. Конструктивные особенности поворотного редуктора
9. Конструктивные особенности шнека
10. Конструктивные особенности кронштейна
11. Конструктивные особенности рамы
12. Конструктивные особенности гидросхемы

#### **Лабораторная работа № 4**

1. Область применения очистного комбайна 1КШЭ
2. Конструктивные особенности очистного комбайна 1КШЭ
3. Конструктивные особенности кинематической схемы
4. Конструктивные особенности центрального редуктора исполнительного органа
5. Конструктивные особенности шнека

6. Конструктивные особенности поворотного редуктора
7. Конструктивные особенности опорно-направляющего механизма
8. Конструктивные особенности гидрооборудования
9. Конструктивные особенности гидравлической схемы

#### **Лабораторная работа № 5**

1. Классификация механизированных крепей
2. Конструктивные особенности механизированной крепи ПИОМА 25/45-Оз
3. Конструктивные особенности секции крепи
4. Конструктивные особенности основания
5. Конструктивные особенности проставки
6. Конструктивные особенности ограждения
7. Конструктивные особенности козырька
8. Конструктивные особенности гидростойки
9. Конструктивные особенности гидродомкратов: передвижки, козырька, щитов
10. Конструктивные особенности тяги передвижки
11. Конструктивные особенности гидравлической схемы
12. Конструктивные особенности гидрораспределителя управления
13. Конструктивные особенности гидроблока стойки
14. Конструктивные особенности и принцип действия индикатора давления

#### **Лабораторная работа № 6**

1. Область применения бурового станка СБШ-250-МНА-32
2. Конструктивные особенности бурового станка СБШ-250-МНА-32
3. Конструктивные особенности вращателя
4. Конструктивные особенности редуктора вращателя
5. Конструктивные особенности шинно-зубчатой муфты
6. Конструктивные особенности опорного узла
7. Конструктивные особенности механизма подачи
8. Конструктивные особенности кассеты
9. Конструктивные особенности машинного отделения
10. Конструктивные особенности схемы гидропривода станка

#### **Лабораторная работа № 7**

1. Область применения бурового станка ЗСБШ-200-60
2. Конструктивные особенности бурового станка ЗСБШ-200-60
3. Схема расположения оборудования на платформе бурового станка
4. Конструктивные особенности рабочего органа
5. Конструктивные особенности вращательно-подающего механизма
6. Конструктивные особенности редуктора вращателя
7. Конструктивные особенности гидропатрона
8. Конструктивные особенности гидроцилиндра подачи
9. Конструктивные особенности вертлюга
10. Конструктивные особенности редуктора лебедки
11. Конструктивные особенности редуктора ходовой части
12. Конструктивные особенности гидродомкрата горизонтирования станка
13. Конструктивные особенности и принцип работы установки сухого пылеулавливания
14. Конструктивные особенности кабельного барабана
15. Кинематическая схема привода кабельного барабана
16. Конструктивные особенности кабелеукладчика

#### **Лабораторная работа № 8**

1. Область применения карьерного экскаватора ЭКГ-10
2. Конструктивные особенности карьерного экскаватора ЭКГ-10
3. Конструктивные особенности ковша карьерного экскаватора
4. Конструктивные особенности рукояти карьерного экскаватора
5. Конструктивные особенности стрелы карьерного экскаватора

4. Конструктивные особенности седлового подшипника
5. Конструктивные особенности головных блоков
6. Конструктивные особенности двуногой стойки
7. Конструктивные особенности оборудования поворотной платформы
8. Конструктивные особенности лебедки подъема
9. Конструктивные особенности барабана-редуктора
10. Схемы запасовки канатов, принцип работы подъемной и напорной лебедок
11. Конструктивные особенности лебедки напора
12. Конструктивные особенности привода механизма поворота
13. Конструктивные особенности редуктора механизма поворота
14. Конструктивные особенности центральной цапфы
15. Конструктивные особенности ходовой тележки
16. Конструктивные особенности роликового круга
17. Конструктивные особенности кабельного барабана
18. Схема пневмосистемы

#### **Лабораторная работа № 9**

1. Область применения карьерного экскаватора ЭКГ-15
2. Конструктивные особенности карьерного экскаватора ЭКГ-15
3. Конструктивные особенности ковша карьерного экскаватора
4. Конструктивные особенности рукояти карьерного экскаватора
5. Конструктивные особенности стрелы карьерного экскаватора
4. Конструктивные особенности седлового подшипника
5. Конструктивные особенности двуногой стойки
7. Конструктивные особенности оборудования поворотной платформы
8. Конструктивные особенности лебедки подъема
9. Схемы запасовки канатов, принцип работы подъемной и напорной лебедок
10. Конструктивные особенности лебедки напора
11. Конструктивные особенности привода механизма поворота
12. Конструктивные особенности редуктора механизма поворота
13. Конструктивные особенности нижней рамы
14. Конструктивные особенности центральной цапфы
15. Конструктивные особенности роликового круга
16. Конструктивные особенности ходовой тележки
18. Конструктивные особенности кабельного барабана
19. Пневматическая система

#### **Лабораторная работа № 10**

1. Область применения карьерного экскаватора ЭШ 40.85
2. Конструктивные особенности карьерного экскаватора ЭШ 40.85
3. Габаритные размеры экскаватора ЭШ 40.85
4. Расположение оборудования на поворотной платформе
5. Конструктивные особенности ковша
6. Схема подвески ковша, принцип работы подъемной и тяговой лебедок
7. Конструктивные особенности головных блоков
8. Конструктивные особенности направляющих блоков тяговых канатов
9. Конструктивные особенности подвески стрелы
10. Схема полиспаста подвески стрелы
11. Кинематическая схема подъемной и тяговой лебедок
12. Конструктивные особенности механизма поворота и опорно-поворотного устройства
13. Конструктивные особенности центральной цапфы
14. Принцип работы механизма шагания
15. Пневматическая система

#### **Лабораторная работа № 11**

1. Область применения карьерного экскаватора ЭГ-20

2. Конструктивные особенности карьерного экскаватора ЭГ-20
3. Расположение оборудования на поворотной платформе
4. Конструктивные особенности рабочего оборудования
5. Конструктивные особенности ковша
6. Конструктивные особенности механизма хода
7. Кинематическая схема привод гусениц
8. Конструктивные особенности гусеницы
9. Конструктивные особенности механизма поворота
10. Конструктивные особенности опорно-поворотного устройства
11. Конструктивные особенности насосно-генераторного агрегата
12. Пневматическая система
13. Устройство кабины машиниста

#### **Лабораторная работа № 12**

1. Классификация и область применения дробилок
2. Конструктивные особенности щековой дробилки ЩДП
3. Конструктивные особенности щековой дробилки ЩДС
4. Конструктивные особенности конусной дробилки ККД
5. Конструктивные особенности конусной дробилки КСД
6. Конструктивные особенности двухвалковой дробилки ДДЗ
7. Конструктивные особенности молотковой дробилки
8. Конструктивные особенности, формы и параметры молотков дробилок
9. Конструктивные особенности привода реверсивной дробилки
11. Конструктивные особенности реверсивной молотковой дробилки
12. Конструктивные особенности роторной дробилки типа СДМ

#### **Лабораторная работа № 13**

1. Классификация и область применения инерционных грохотов
2. Конструктивные особенности инерционного грохота ГИТ-51Б
3. Конструктивные особенности вибратора грохота ГИЛ
4. Конструктивные особенности пружинной опоры грохота
5. Конструктивные особенности подвески грохота
6. Классификация и область применения самобалансных грохотов ГИС, ГИСЛ
7. Конструктивные особенности инерционного грохота ГИСЛ
7. Конструктивные особенности вибровозбудителя грохота ГИСЛ
8. Конструктивные особенности грохота ГСЛ
9. Конструктивные особенности вибратора самобалансного грохота ГСЛ
11. Классификация и область применения резонансных грохотов ГРЛ и ГРД
12. Принципиальная схема резонансного грохота ГРЛ
13. Конструктивные особенности резонансного грохота ГРД
14. Конструктивные особенности узла привода коробов грохота ГРД
15. Классификация и область применения грохотов с неподвижной рабочей поверхностью ГГН, ГЛС
16. Конструктивные особенности грохота ГЛС
17. Конструктивные особенности гидрогрохота ГГЛ
18. Классификация и область применения цилиндрических грохотов ГЦЛ
19. Конструктивные особенности цилиндрического грохота ДЦЛ

#### **6.2. Вопросы к коллоквиумам**

Коллоквиумы проводятся во время лабораторных занятий на пятой, девятой, тринадцатой и семнадцатой неделях семестра.

#### **Лабораторная работа № 14**

1. Классификация методов обезвоживания
2. Принцип и цикл работы центрифуг
3. Конструктивные особенности и параметры центрифуги ФВШ
4. Конструктивные особенности и параметры вертикальных вибрационных фильтрующих центрифуг ФВВ-1000

5. Конструктивные особенности вибрационного привода центрифуги НВВ-1000
  6. Конструктивные особенности центрифуги ФВП-1120
  7. Конструктивные особенности центрифуги ФГВ-1320
  8. Принципиальная схема шнековой центрифуги ОГШ
  9. Конструктивные особенности и параметры осадительно-фильтрующих центрифуг ОГШ-1320Ф
  10. Конструктивные особенности и принцип работы вакуум-фильтра ДУ80-2,7/8
  11. Конструктивные особенности сектора вакуум-фильтра ДУ80-2,7/8
- На коллоквиуме студент отвечает на 3 вопроса по пройденным разделам дисциплины.

### **Коллоквиум № 1**

Основные закономерности разрушения горных пород инструментом горных машин:

1. Прочность горной породы
2. Пластичность горной породы
3. Деформируемость горной породы
4. Твердость горной породы
5. Крепость горной породы
6. Абразивность горной породы
7. Сопrotивляемость угля резанию
8. Удельная энергоемкость резанию
9. Степень хрупкости угля
10. Показатель разрушаемости угольных пластов
11. Силы, действующие на резец при разрушении угля
12. Параметры разрушения и виды резов
13. Основные закономерности процесса разрушения угля резанием
14. Зависимость силовых и энергетических показателей процесса резания от ширины реза
15. Зависимость силовых и энергетических показателей процесса резания от угла резания резца
16. Зависимость силовых и энергетических показателей процесса резания от заднего угла резца
17. Определение усилия резания на остром резце при резании угля
18. Определение усилия резания на остром резце при резании породы
19. Определение усилий, действующих на дисковую шарошку
20. Типы и типоразмеры породоразрушающих инструментов, их основные параметры
21. Классификация рабочих инструментов горных машин
22. Элементы и параметры резцов
23. Основные типы и конструктивные особенности резцов
24. Материалы, применяемые при изготовлении резцов
25. Режущий инструмент струговых установок
26. Рабочий инструмент проходческих комбайнов
27. Типы и типоразмеры горных машин для механизации разработки полезных ископаемых подземным способом, их характеристики и принцип действия
28. Классификация проходческих комбайнов
29. Исполнительные органы проходческих комбайнов
30. Погрузочные органы проходческих комбайнов
31. Ходовое оборудование проходческих комбайнов
32. Классификация бурильных машин
33. Бурильные машины вращательного действия для бурения шпуров. Инструмент бурильных машин
34. Бурильные машины ударно-поворотного действия для бурения шпуров и скважин. Инструмент бурильных машин
35. Буровые станки вращательного действия для бурения скважин. Инструмент буровых станков

36. Проходческие комплексы для проведения горизонтальных и наклонных горных выработок

37. Щитовые проходческие комплексы

### **Коллоквиум № 2**

Типы и типоразмеры горных машин для механизации разработки полезных ископаемых

подземным способом, их характеристики и принцип действия:

1. Классификация очистных комбайнов
2. Классификация исполнительных органов очистных комбайнов
3. Шнековые исполнительные органы очистных комбайнов
4. Погрузочные исполнительные органы очистных комбайнов
5. Механизмы подачи очистных комбайнов
6. Силовое оборудование очистных комбайнов
7. Средства борьбы с пылью при работе очистного комбайна
8. Очистные комбайны для средней мощности и мощных пластов
9. Классификация струговых установок
10. Состав оборудования струговой установки
11. Классификация механизированных крепей
12. Устройство, конструктивные элементы секции механизированной крепи
13. Инструмент для станков ударно-вращательного (пневмоударного) бурения.
14. Инструмент для станков вращательного бурения шарошечными долотами.
15. Инструмент для станков вращательного бурения режущими долотами со шнековой очисткой скважин
16. Комбинированный буровой инструмент
17. Буровые штанги для бурения взрывных скважин шарошечными долотами.
18. Шнековые буровые штанги

### **Коллоквиум № 3**

Типы и типоразмеры горных машин для механизации разработки полезных ископаемых

открытым способом, их характеристики и принцип действия:

1. Классификация экскаваторов. Конструктивные схемы одноковшовых экскаваторов
2. Зарубежные экскаваторы
3. Механическая прямая напорная лопата
4. Гидравлический экскаватор (прямая и обратная лопаты)
5. Драглайн
6. Конструктивные схемы многоковшовых экскаваторов
7. Цепной экскаватор
8. Роторный экскаватор
9. Фрезерный экскаватор
10. Рабочее оборудование одноковшового экскаватора прямая механическая лопата
11. Рабочее оборудование одноковшового экскаватора прямая и обратная гидравлическая лопата
12. Рабочее оборудование драглайна
13. Рабочее оборудование цепного многоковшового экскаватора
14. Рабочее оборудование роторного экскаватора

### **Коллоквиум № 4**

Типы и типоразмеры горных машин для обогащения полезных ископаемых, их характеристики и принцип действия:

1. Инерционные щековые дробилки
2. Колосниковые грохоты
3. Центрифуги осадительные
4. Тяжелосредние сепараторы
5. Беспоршневые отсадочные машины
6. Механические флотационные машины

7. Пневмомеханические флотационные машины
8. Гидрогрохоты
9. Шаровые и стержневые мельницы
10. Щековые дробилки
11. Конусные дробилки крупного дробления
12. Конусные дробилки среднего и мелкого дробления
13. Инерционные грохоты
14. Вагонопрокидыватели роторные
15. Вагонопрокидыватели с боковой разгрузкой
16. Инерционные самобалансные грохоты
17. Роторные дробилки
18. Молотковые дробилки
19. Отсадочные машины с подвижным решетом

### ***Перечень теоретических вопросов к зачету***

Раздел 1: Основные закономерности разрушения горных пород инструментом горных машин

1. Прочностные и плотностные свойства пород и углей
2. Силовые и энергетические показатели процесса разрушения породы
3. Параметры разрушения горных пород рабочим инструментом горных машин. Формы среза
4. Основные закономерности процесса разрушения горных пород рабочим инструментом горных машин
5. Классификация рабочих инструментов горных машин
6. Элементы и параметры режущих инструментов. Материалы, применяемые при изготовлении резцов

Раздел 2: Горные машины для механизации разработки месторождений полезных ископаемых подземным способом

1. Классификация очистных комбайнов
2. Классификация исполнительных органов очистных комбайнов
3. Шнековые исполнительные органы очистных комбайнов
4. Погрузочные исполнительные органы очистных комбайнов
5. Механизмы подачи очистных комбайнов
6. Силовое оборудование очистных комбайнов
7. Средства борьбы с пылью при работе очистного комбайна
8. Очистные комбайны для средней мощности и мощных пластов
9. Классификация струговых установок
10. Состав оборудования струговой установки
11. Классификация механизированных крепей
12. Устройство, конструктивные элементы секции механизированной крепи
13. Очистные комплексы и агрегаты
14. Классификация проходческих комбайнов
15. Исполнительные органы проходческих комбайнов
16. Погрузочные органы проходческих комбайнов
17. Ходовое оборудование проходческих комбайнов
18. Классификация бурильных машин
19. Бурильные машины вращательного действия для бурения шпуров. Инструмент бурильных машин
20. Бурильные машины ударно-поворотного действия для бурения шпуров и скважин. Инструмент бурильных машин
21. Буровые станки вращательного действия для бурения скважин. Инструмент буровых станков
22. Проходческие комплексы для проведения горизонтальных и наклонных горных выработок

23. Щитовые проходческие комплексы

### **Раздел 3: Горные машины для механизации разработки месторождений полезных ископаемых открытым способом**

1. Классификация оборудования, применяемого на открытых горных работах (7 классов)

2. Классификация карьерных буровых станков

4. Общая схема устройства буровых станков

5. Основные узлы буровых станков

6. Теория рабочего процесса буровых машин ударного и ударно-вращательного действия

7. Теория рабочего процесса машин вращательного бурения шарошечными долотами

8. Теория рабочего процесса машин вращательного бурения резцовыми долотами

9. Физические основы термического бурения

10. Инструмент для станков ударно-вращательного (пневмоударного) бурения.

11. Инструмент для станков вращательного бурения шарошечными долотами.

12. Инструмент для станков вращательного бурения режущими долотами со шнековой очисткой скважин

13. Комбинированный буровой инструмент

14. Конструктивные схемы вращательно-подающих механизмов (ВПМ) буровых станков

15. Устройства для удаления буровой мелочи из скважины, пылеулавливания и пылеподавления

16. Устройства для подвода сжатого воздуха и рабочих компонентов к вращающемуся буровому ставу

17. Устройства для хранения, подачи штанг и свинчивания (развинчивания) бурового става

18. Гидравлические, пневматические, электрические системы буровых станков

19. Станки ударно-вращательного бурения погружными пневмоударниками и их параметры

20. Станки вращательного бурения резцовыми долотами и их параметры

21. Станки вращательного бурения шарошечными долотами и их параметры

22. Определение производительности буровых станков

23. Классификация экскаваторов. Конструктивные схемы одноковшовых экскаваторов

24. Карьерные экскаваторы и их параметры

25. Гидравлические экскаваторы и их параметры

26. Драглайны и их параметры

27. Конструктивные схемы многоковшовых экскаваторов

28. Рабочее оборудование одноковшового экскаватора прямая механическая лопата

29. Определение производительности экскаваторов

### **Раздел 4: Горные машины для обогащения полезных ископаемых**

1. Вагоноопрокидыватели и их параметры

2. Маневровые устройства

3. Электромагнитные шкивы и барабаны барабаны

4. Железоотделители и их параметры

5. Щековые, валковые и конусные дробилки

6. Молотковые, роторные и барабанные дробилки

7. Грохоты и их параметры

8. Типы самобалансных вибраторов

9. Определение амплитуды колебания грохотов

10. Резонансные грохоты

11. Вибраторы для резонансных грохотов

12. Барабанные грохоты

13. Стержневые мельницы

14. Шаровые мельницы с решеткой

15. Отсадочные машины с подвижным решетом
16. Отсадочные машины с раздвижным решетом
17. Пневматические отсадочные машины
18. Тяжелосредние сепараторы
19. Флотационные машины механического типа
20. Пневматические флотационные машины
21. Вакуум-фильтры и пресс-фильтры
22. Фильтрующие, осадительные и осадительно-фильтрующие центрифуги
23. Барабанные сушилки и трубы-сушилки
24. Отделение сушки обогатительной фабрики

### **Примеры практических заданий для промежуточной аттестации**

1. Рассчитать для переносного перфоратора ПП50В1 мощность ударного механизма  $N_{уд}$ , мощность механизма вращения  $N_{вр}$ , суммарную мощность  $N_{\Sigma}$ , удельный расход воздуха  $q$  и скорость бурения  $v$ . Построить графики зависимостей  $v = f(d)$  и  $v = f(\sigma)$ .

Расчётные данные:

Энергия удара поршня -  $A_{уд} = 54$  Дж; частота ударов -  $n = 37$  с<sup>-1</sup>; крутящий момент  $M = 20$  Н·м; частота вращения бурового инструмента -  $n_{вр} = 1,54$  с<sup>-1</sup>; расхода воздуха -  $Q = 3,4$  м<sup>3</sup>/мин; диаметр шпура -  $d = 38$  мм, буримая порода – гранодиарит (временное сопротивление раздавливанию  $\sigma = 95,3$  МПа).

2. Рассчитать для переносного перфоратора ПП36В мощность ударного механизма  $N_{уд}$ , мощность механизма вращения  $N_{вр}$ , суммарную мощность  $N_{\Sigma}$ , удельный расход воздуха  $q$  и скорость бурения  $v$ . Построить графики зависимостей  $v = f(d)$  и  $v = f(\sigma)$ .

Расчётные данные:

Энергия удара поршня -  $A_{уд} = 36$  Дж; частота ударов -  $n = 38,33$  с<sup>-1</sup>; крутящий момент  $M = 20$  Н·м; частота вращения бурового инструмента -  $n_{вр} = 1,54$  с<sup>-1</sup>; расхода воздуха -  $Q = 2,8$  м<sup>3</sup>/мин; диаметр шпура -  $d = 32$  мм; буримая порода – среднезернистый песчаник (временное сопротивление раздавливанию  $\sigma = 12$  МПа).

3. Рассчитать основные, производительность и (скорость бурения) бурового станка СБУ-100Г с пневмоударником ПП105-2,4. Расчётные данные: энергия удара  $A = 190$  Дж; частота ударов  $n = 21$  с<sup>-1</sup>; диаметр долота  $d = 125$  мм; коэффициент крепости пород  $f = 12$ ; коэффициент падения скорости бурения с глубиной скважины  $\beta = 0,0004$  м<sup>-1</sup>; глубина скважины  $L = 36$  м; коэффициент готовности станка  $k_z = 0,86$ ; стойкость долота на одну заточку  $B = 12$  м; время навинчивания одной штанги  $t_n = 0,8$  мин; время развинчивания одной штанги  $t_p = 1,2$  мин; длина штанги  $l = 0,95$  м; время замены долота  $T_z = 8$  мин; время наведения станка на скважину  $T_n = 5$  мин; время забурирования скважины  $T_{зб} = 1$  мин; число скважин в забое  $m = 14$ ; длительность смены  $T_{см} = 360$  мин; время на подготовительно-заключительные операции  $T_{пз} = 24$  мин; время организационных простоев  $T_{он} = 10$  мин; время перегона станка  $T_n = 18$  мин.
4. Определить машинное время работы комбайна по добыче  $t_p$ , коэффициент совершенства схемы работы оборудования комплекса  $k_c$ , эксплуатационную производительность  $Q$ , для очистного комбайнового комплекса 1ОКП70Е, В состав комплекса входит комбайн 2ГШ68Е. Расчётные данные: вынимаемая мощность пласта  $m = 2,20$  м; длина лавы  $L = 120$  м; ширина захвата очистного комбайна  $B_z = 0,5$  м; плотность угля  $\gamma = 1,4$  т/м<sup>3</sup>; скорость подачи комбайна  $V_n = 4,8$  м/мин; затраты времени на выполнение вспомогательных операций (концевых, маневровых, по зачистке забоя)  $t_{во} = 32$  мин (за один рабочий цикл); коэффициент готовности, отражающий уровень надёжности оборудования комплекса  $k_z = 0,8$ ; коэффициент непрерывности работы комплекса, учитывающий простои по организационным и эксплуатационным причинам  $k_{з,о} = 0,85$ .
5. Рассчитать площадь разрабатываемой груди забоя  $S$ , время цикла по отработке забоя на ширину обделки  $T_{ц}$ , число циклов по отработке забоя на ширину кольца крепи  $n$ ,

коэффициент технически возможной непрерывной работы комплекса по проходке и сооружению тоннеля  $k_m$ , – коэффициент непрерывности работы комплекса в процессе эксплуатации  $k_s$ , теоретическую, техническую и эксплуатационную производительность проходческого щитового комплекса КПЩМ-3,6Э. Расчётные данные: глубина врезания лопаты в грунт данной категории  $hf = 0,16$  м; диаметр щита  $D_{щ} = 3,62$  м; время цикла по отработке забоя на глубину ( $hf$ ) врезания  $t_s = 14$  мин; ширина обделки  $B = 0,75$  м; несовмещенное с разработкой забоя и другими операциями время на откатку вагонеток и подачу блоков обделки  $t_{mp} = 14$  мин; время установки кольца обделки  $t_{кр} = 12$  мин; несовмещенное время тампонажных работ  $t_{там} = 44$  мин; время передвижки щита на ширину кольца обделки  $t_{пер} = 5$  мин; время устранения отказов за цикл  $t_{yn} = 3$  мин/цикл; время простоев по эксплуатационно-организационным причинам (за цикл)  $t_{зо} = 4$  мин.

6. Рассчитать для переносного перфоратора ПП63В мощность ударного механизма  $N_{уд}$ , мощность механизма вращения  $N_{вр}$ , суммарную мощность  $N_{\Sigma}$ , удельный расход воздуха  $q$  и скорость бурения  $v$ . Построить графики зависимостей  $v = f(d)$  и  $v = f(\sigma)$ .

Расчётные данные:

Энергия удара поршня -  $A_{уд} = 63,74$  Дж; частота ударов -  $n = 30$  с<sup>-1</sup>; крутящий момент  $M = 26,93$  Н·м; частота вращения бурового инструмента -  $n_{вр} = 1,03$  с<sup>-1</sup>; расхода воздуха -  $Q = 3,85$  м<sup>3</sup>/мин; диаметр шпура -  $d = 42$  мм, буримая порода – бакальский кварцит (временное сопротивление раздавливанию  $\sigma = 190$  МПа).

7. Определить эксплуатационную производительность  $Q_3$  проходческого комбайна 4ПП2 со стреловидным исполнительным органом. Исходные данные: скорость перемещения коронки  $V_k = 1,65$  м/мин; ширина захвата коронки  $B_z = 0,95$  м; минимальный диаметр коронки  $D_{min} = 0,55$  м; максимальный диаметр коронки  $D_{max} = 0,95$  м; коэффициент использования коронки по диаметру  $k_d = 0,7$ ; сечение выработки в проходке  $S_{np} = 12$  м<sup>2</sup>; шаг установки рам крепи  $l = 1$  м; коэффициент организации работ  $k_{op} = 1,3$ ; время несовмещенных вспомогательных операций  $T_{зо} = 45$  мин; время простоев по эксплуатационно-организационным причинам  $T_{зо} = 10$  мин; продолжительность смены  $T_{см} = 6$  ч;  $T_{m01}$  – время ежесменного технического обслуживания комплекса,  $T_{m01} = 0,5$  часа;  $T_{pn}$  – время регламентированного перерыва,  $T_{pn} = 0,33$  часа.
8. Определить эксплуатационную производительность  $Q_3$  проходческого комбайна ГПКС со стреловидным исполнительным органом. Исходные данные: скорость перемещения коронки  $V_k = 1,05$  м/мин; ширина захвата коронки  $B_z = 0,7$  м; минимальный диаметр коронки  $D_{min} = 0,45$  м; максимальный диаметр коронки  $D_{max} = 0,85$  м; коэффициент использования коронки по диаметру  $k_d = 0,9$ ; сечение выработки в проходке  $S_{np} = 13$  м<sup>2</sup>; шаг установки рам крепи  $l = 1$  м; коэффициент организации работ  $k_{op} = 1,1$ ; время несовмещенных вспомогательных операций  $T_{зо} = 45$  мин; время простоев по эксплуатационно-организационным причинам  $T_{зо} = 12$  мин; продолжительность смены  $T_{см} = 6$  ч;  $T_{m01}$  – время ежесменного технического обслуживания комплекса,  $T_{m01} = 0,5$  часа;  $T_{pn}$  – время регламентированного перерыва,  $T_{pn} = 0,33$  часа.
9. Рассчитать основные показатели, производительность и скорость бурения бурового станка СБУ-100Г с пневмоударником П125-3,8. Расчётные данные: энергия удара  $A = 190$  Дж; частота ударов  $n = 21$  с<sup>-1</sup>; диаметр долота  $d = 125$  мм; коэффициент крепости пород  $f = 12$ ; коэффициент падения скорости бурения с глубиной скважины  $\beta = 0,0004$  м<sup>-1</sup>; глубина скважины  $L = 36$  м; коэффициент готовности станка  $k_z = 0,86$ ; стойкость долота на одну заточку  $B = 20$  м; время навинчивания одной штанги  $t_n = 0,8$  мин; время развинчивания одной штанги  $t_p = 1,2$  мин; длина штанги  $l = 0,95$  м; время замены долота  $T_z = 4$  мин; время наведения станка на скважину  $T_n = 4$  мин; время забуривания скважины  $T_{зб} = 1$  мин; число скважин в забое  $m = 16$ ; длительность смены  $T_{см} = 360$  мин; время на подготовительно-заключительные операции  $T_{nz} = 24$  мин; время организационных простоев  $T_{он} = 10$  мин; время перегона станка  $T_n = 18$  мин.

10. Рассчитать техническую и эксплуатационную скорость бурения для бурового станка БКГ-2 с бурильной головкой – перфоратором ГП-1. Расчётные данные: энергия удара перфоратора  $A = 98$  Дж; частота ударов  $n = 90$  с<sup>-1</sup>; диаметр шпура  $d = 55$  мм; коэффициент крепости пород  $f = 13$ ; декремент затухания энергии силового импульса  $\alpha = 0,03$ ; глубина шпура  $L = 3$  м; коэффициент готовности  $k_z = 0,94$ ; число бурильных машин на установке  $R = 2$ ;  $k_o = 1; 0,8; 0,7$  при числе бурильных машин соответственно 1; 2; 3  $k_o = 0,8$ ; стойкость резца (коронки) на одну заточку  $B = 15$  м; ; скорость обратного хода бурильной головки  $v_{ох} = 12$  м/мин; время замены резца (коронки)  $T_z = 7$  мин; время наведения бурильной машины с одного шпура (скважины) на другой  $T_n = 2$  мин; время забуривания шпура (скважины)  $T_{зб} = 1$  мин; число шпуров в забое  $m = 32$ ; длительность смены  $T_{см} = 360$  мин; время на подготовительно-заключительные операции  $T_{пз} = 42$  мин; время организационных простоев  $T_{он} = 34$  мин; время перегона установки  $T_n = 28$  мин.
11. Рассчитать основные показатели, производительность и скорость бурения бурового станка СБУ-125У-52 с пневмоударником П125-3,8. Расчётные данные: энергия удара  $A = 190$  Дж; частота ударов  $n = 21$  с<sup>-1</sup>; диаметр долота  $d = 125$  мм; коэффициент крепости пород  $f = 12$ ; коэффициент падения скорости бурения с глубиной скважины  $\beta = 0,0004$  м<sup>-1</sup>; глубина скважины  $L = 24$  м; коэффициент готовности станка  $k_z = 0,92$ ; стойкость долота на одну заточку  $B = 20$  м; время навинчивания одной штанги  $t_n = 0,6$  мин; время развинчивания одной штанги  $t_p = 1,3$  мин; длина штанги  $l = 4,25$  м; время замены долота  $T_z = 4$  мин; время наведения станка на скважину  $T_n = 4,5$  мин; время забуривания скважины  $T_{зб} = 1$  мин; число скважин в забое  $m = 12$ ; длительность смены  $T_{см} = 360$  мин; время на подготовительно-заключительные операции  $T_{пз} = 18$  мин; время организационных простоев  $T_{он} = 12$  мин; время перегона станка  $T_n = 20$  мин.
12. Рассчитать для переносного перфоратора ПП50В1 мощность ударного механизма  $N_{уд}$ , мощность механизма вращения  $N_{вр}$ , суммарную мощность  $N_{с}$ , удельный расход воздуха  $q$  и скорость бурения  $v$ . Построить графики зависимостей  $v = f(d)$  и  $v = f(\sigma)$ .  
 Расчётные данные:  
 Энергия удара поршня -  $A_{уд} = 54$  Дж; частота ударов -  $n = 37$  с<sup>-1</sup>; крутящий момент  $M = 20$  Н·м; частота вращения бурового инструмента -  $n_{вр} = 1,03$  с<sup>-1</sup>; расхода воздуха -  $Q = 3,4$  м<sup>3</sup>/мин; диаметр шпура -  $d = 36$  мм, буримая порода – бакальский кварцит (временное сопротивление раздавливанию  $\sigma = 190$  МПа).
13. Рассчитать основные показатели, производительность бурового станка СБУ-125У-52 с пневмоударником П-125-3,8. Расчётные данные: энергия удара  $A = 190$  Дж; частота ударов  $n = 21$  с<sup>-1</sup>; диаметр долота  $d = 125$  мм; коэффициент крепости пород  $f = 14$ ; коэффициент падения скорости бурения с глубиной скважины  $\beta = 0,0004$  м<sup>-1</sup>; глубина скважины  $L = 36$  м; коэффициент готовности станка  $k_z = 0,86$ ; стойкость долота на одну заточку  $B = 20$  м; время навинчивания одной штанги  $t_n = 0,9$  мин; время развинчивания одной штанги  $t_p = 1,3$  мин; длина штанги  $l = 4,25$  м; время замены долота  $T_z = 4$  мин; время наведения станка на скважину  $T_n = 4$  мин; время забуривания скважины  $T_{зб} = 1$  мин; число скважин в забое  $m = 16$ ; длительность смены  $T_{см} = 360$  мин; время на подготовительно-заключительные операции  $T_{пз} = 24$  мин; время организационных простоев  $T_{он} = 12$  мин; время перегона станка  $T_n = 26$  мин.
14. Определить машинное время работы комбайна по добыче  $t_p$ , коэффициент совершенства схемы работы оборудования комплекса  $k_c$ , эксплуатационную производительность  $Q$ , для очистного комбайнового комплекса КМ142, В состав комплекса входит комбайн 1КШЭ. Расчётные данные: вынимаемая мощность пласта  $m = 4$  м; длина лавы  $L = 150$  м; ширина захвата очистного комбайна  $B_z = 0,5$  м; плотность угля  $\gamma = 1,4$  т/м<sup>3</sup>; скорость подачи комбайна  $V_n = 3,8$  м/мин; затраты времени на выполнение вспомогательных операций (концевых, маневровых, по зачистке забоя)  $t_{во} = 32$  мин (за один рабочий цикл); коэффициент готовности, отражающий уровень надёжности оборудования комплекса  $k_z = 0,85$ ;

коэффициент непрерывности работы комплекса, учитывающий простои по организационным и эксплуатационным причинам  $k_{3,0} = 0,88$ .

15. Рассчитать площадь разрабатываемой груди забоя  $S$ , время цикла по отработке забоя на ширину обделки  $T_{ц}$ , число циклов по отработке забоя на ширину кольца крепи  $n$ , коэффициент технически возможной непрерывной работы комплекса по проходке и сооружению тоннеля  $k_m$ , – коэффициент непрерывности работы комплекса в процессе эксплуатации  $k_3$ , теоретическую, техническую и эксплуатационную производительность проходческого щитового комплекса КПЩМ-2,6Э. Расчётные данные: глубина врезания лопаты в грунт данной категории  $hf = 0,18$  м; диаметр щита  $D_{щ} = 2,59$  м; время цикла по отработке забоя на глубину ( $hf$ ) врезания  $t_3 = 18$  мин; ширина обделки  $B = 0,75$  м; несовмещенное с разработкой забоя и другими операциями время на откатку вагонеток и подачу блоков обделки  $t_{мп} = 12$  мин; время установки кольца обделки  $t_{кр} = 10$  мин; несовмещенное время тампонажных работ  $t_{там} = 38$  мин; время передвижки щита на ширину кольца обделки  $t_{пер} = 6$  мин; время устранения отказов за цикл  $t_{н} = 3$  мин/цикл; время простоев по эксплуатационно-организационным причинам (за цикл)  $t_{30} = 3$  мин.
16. Рассчитать техническую и эксплуатационную скорость бурения для бурового станка БКГ-2 с бурильной головкой – перфоратором ГП-1. Расчётные данные: энергия удара перфоратора  $A = 98$  Дж; частота ударов  $n = 90$  с<sup>-1</sup>; диаметр шпура  $d = 45$  мм; коэффициент крепости пород  $f = 19$ ; декремент затухания энергии силового импульса  $\alpha = 0,03$ ; глубина шпура  $L = 4,4$  м; коэффициент готовности  $k_2 = 0,88$ ; число бурильных машин на установке  $R = 2$ ;  $k_0 = 0,8$ ; стойкость резца (коронки) на одну заточку  $B = 25$  м; скорость обратного хода бурильной головки  $v_{ох} = 12$  м/мин; время замены резца (коронки)  $T_3 = 7$  мин; время наведения бурильной машины с одного шпура (скважины) на другой  $T_n = 3$  мин; время забуривания шпура (скважины)  $T_{36} = 1$  мин; число шпуров в забое  $m = 40$ ; длительность смены  $T_{см} = 360$  мин; время на подготовительно-заключительные операции  $T_{пз} = 52$  мин; время организационных простоев  $T_{он} = 38$  мин; время перегона установки  $T_n = 26$  мин.
17. Рассчитать техническую и эксплуатационную скорость бурения для бурового станка БК-2П с бурильной головкой – перфоратором ПК-60А. Расчётные данные: энергия удара перфоратора  $A = 95$  Дж; частота ударов  $n = 45$  с<sup>-1</sup>; диаметр шпура  $d = 56$  мм; коэффициент крепости пород  $f = 14$ ; декремент затухания энергии силового импульса  $\alpha = 0,05$ ; глубина шпура  $L = 4,6$  м; коэффициент готовности  $k_2 = 0,89$ ; число бурильных машин на установке  $R = 2$ ;  $k_0 = 0,8$ ; стойкость резца (коронки) на одну заточку  $B = 28$  м; ; скорость обратного хода бурильной головки  $v_{ох} = 16$  м/мин; время замены резца (коронки)  $T_3 = 5$  мин; время наведения бурильной машины с одного шпура (скважины) на другой  $T_n = 1,5$  мин; время забуривания шпура (скважины)  $T_{36} = 1$  мин; число шпуров в забое  $m = 44$ ; длительность смены  $T_{см} = 360$  мин; время на подготовительно-заключительные операции  $T_{пз} = 44$  мин; время организационных простоев  $T_{он} = 26$  мин; время перегона установки  $T_n = 30$  мин.
18. Определить эксплуатационную производительность  $Q_3$  проходческого комбайна 4ПП2 со стреловидным исполнительным органом. Исходные данные: скорость перемещения коронки  $V_k = 2,1$  м/мин; ширина захвата коронки  $B_3 = 0,95$  м; минимальный диаметр коронки  $D_{min} = 0,55$  м; максимальный диаметр коронки  $D_{max} = 0,95$  м; коэффициент использования коронки по диаметру  $k_d = 0,9$ ; сечение выработки в проходке  $S_{np} = 15$  м<sup>2</sup>; шаг установки рам крепи  $l = 1$  м; коэффициент организации работ  $k_{op} = 1,3$ ; время несовмещенных вспомогательных операций  $T_{30} = 55$  мин; время простоев по эксплуатационно-организационным причинам  $T_{30} = 16$  мин; продолжительность смены  $T_{см} = 6$  ч;  $T_{m01}$  – время ежесменного технического обслуживания комплекса,  $T_{m01} = 0,5$  часа;  $T_{pn}$  – время регламентированного перерыва,  $T_{pn} = 0,33$  часа.
19. Рассчитать техническую и эксплуатационную скорость бурения для бурового станка БКГ-2 с бурильной головкой – перфоратором ГП-1. Расчётные данные: энергия удара перфоратора  $A = 98$  Дж; частота ударов  $n = 90$  с<sup>-1</sup>; диаметр шпура  $d = 56$  мм; коэффициент крепости пород  $f = 20$ ; декремент затухания энергии силового импульса  $\alpha = 0,03$ ; глубина шпура  $L = 4,4$  м; коэффициент готовности  $k_2 = 0,86$ ; число бурильных машин на установке  $R = 2$ ;  $k_0 = 1; 0,8; 0,7$  при числе бурильных машин соответственно 1; 2; 3; стойкость резца (коронки) на одну

заточку  $B = 15$  м; скорость обратного хода  $v_{ок} = 19$  м/мин время замены резца (коронки)  $T_3 = 5$  мин; время наведения бурильной машины с одного шпура (скважины) на другой  $T_n = 2$  мин; время забуривания шпура (скважины)  $T_{36} = 1$  мин; число шпуров в забое  $m = 34$ ; длительность смены  $T_{см} = 360$  мин; время на подготовительно-заключительные операции  $T_{пз} = 36$  мин; время организационных простоев  $T_{он} = 28$  мин; время перегона установки  $T_n = 32$  мин.

20. Рассчитать техническую и эксплуатационную скорость бурения для бурового станка ПБУ-80М с бурильной головкой – перфоратором ПК75А. Расчётные данные: энергия удара перфоратора  $A = 176$  Дж; частота ударов  $n = 37$  с<sup>-1</sup>; диаметр шпура  $d = 40$  мм; коэффициент крепости пород  $f = 16$ ; декремент затухания энергии силового импульса  $\alpha = 0,04$ ; глубина шпура  $L = 20$  м; коэффициент готовности  $k_z = 0,9$ ; число бурильных машин на установке  $R = 1$ ;  $k_o = 1$ ; стойкость резца (коронки) на одну заточку  $B = 20$  м; время навинчивания одной штанги  $t_n = 0,5$  мин; время развинчивания одной штанги  $t_p = 1$  мин; длина штанги  $l = 1,22$  м; время замены резца (коронки)  $T_3 = 4$  мин; время наведения бурильной машины с одного шпура (скважины) на другой  $T_n = 5$  мин; время забуривания шпура (скважины)  $T_{36} = 1$  мин; число шпуров в забое  $m = 14$ ; длительность смены  $T_{см} = 360$  мин; время на подготовительно-заключительные операции  $T_{пз} = 40$  мин; время организационных простоев  $T_{он} = 60$  мин; время перегона установки  $T_n = 30$  мин.

21. Рассчитать для переносного перфоратора ПП36В мощность ударного механизма  $N_{уд}$ , мощность механизма вращения  $N_{вр}$ , суммарную мощность  $N_{с}$ , удельный расход воздуха  $q$  и скорость бурения  $v$ . Построить графики зависимостей  $v = f(d)$  и  $v = f(\sigma)$ .

Расчётные данные:

Энергия удара поршня -  $A_{уд} = 36$  Дж; частота ударов -  $n = 38,33$  с<sup>-1</sup>; крутящий момент  $M = 20$  Н·м; частота вращения бурового инструмента -  $n_{вр} = 1,54$  с<sup>-1</sup>; расхода воздуха -  $Q = 2,8$  м<sup>3</sup>/мин; диаметр шпура -  $d = 32$  мм, буримая порода – среднезернистый песчаник (временное сопротивление раздавливанию  $\sigma = 12$  МПа).

22. Рассчитать для переносного перфоратора ПП63В мощность ударного механизма  $N_{уд}$ , мощность механизма вращения  $N_{вр}$ , суммарную мощность  $N_{с}$ , удельный расход воздуха  $q$  и скорость бурения  $v$ . Построить графики зависимостей  $v = f(d)$  и  $v = f(\sigma)$ .

Расчётные данные:

Энергия удара поршня -  $A_{уд} = 63,74$  Дж; частота ударов -  $n = 30$  с<sup>-1</sup>; крутящий момент  $M = 26,93$  Н·м; частота вращения бурового инструмента -  $n_{вр} = 1,54$  с<sup>-1</sup>; расхода воздуха -  $Q = 3,85$  м<sup>3</sup>/мин; диаметр шпура -  $d = 46$  мм, буримая порода – гранодиорит (временное сопротивление раздавливанию  $\sigma = 95,3$  МПа).

23. Рассчитать основные показатели, производительность и скорость бурения бурового станка НКР100М с пневмоударником ПП105-2,4. Расчётные данные: энергия удара  $A = 93,2$  Дж; частота ударов  $n = 28$  с<sup>-1</sup>; диаметр долота  $d = 105$  мм; коэффициент крепости пород  $f = 14$ ; коэффициент падения скорости бурения с глубиной скважины  $\beta = 0,0004$  м<sup>-1</sup>; глубина скважины  $L = 40$  м; коэффициент готовности станка  $k_z = 0,9$ ; стойкость долота на одну заточку  $B = 15$  м; время навинчивания одной штанги  $t_n = 0,5$  мин; время развинчивания одной штанги  $t_p = 1$  мин; длина штанги  $l = 1$  м; время замены долота  $T_3 = 4$  мин; время наведения станка на скважину  $T_n = 4$  мин; время забуривания скважины  $T_{36} = 1$  мин; число скважин в забое  $m = 14$ ; длительность смены  $T_{см} = 360$  мин; время на подготовительно-заключительные операции  $T_{пз} = 20$  мин; время организационных простоев  $T_{он} = 10$  мин; время перегона станка  $T_n = 20$  мин.

24. Определить машинное время работы комбайна по добыче  $t_p$ , коэффициент совершенства схемы работы оборудования комплекса  $k_c$ , эксплуатационную производительность  $Q$ , для очистного комбайнового комплекса КМ138, В состав комплекса входит комбайн РКУ13. Расчётные данные: вынимаемая мощность пласта  $m = 1,8$  м; длина лавы  $L = 180$  м; ширина захвата очистного комбайна  $B_s = 0,63$  м; плотность угля  $\gamma = 1,35$  т/м<sup>3</sup>; скорость подачи

комбайна  $V_n = 5$  м/мин; затраты времени на выполнение вспомогательных операций (концевых, маневровых, по зачистке забоя)  $t_{\text{вo}} = 30$  мин (за один рабочий цикл); коэффициент готовности, отражающий уровень надёжности оборудования комплекса  $k_z = 0,82$ ; коэффициент непрерывности работы комплекса, учитывающий простои по организационным и эксплуатационным причинам  $k_{z,o} = 0,90$ .

25. Рассчитать площадь разрабатываемой груди забоя  $S$ , время цикла по отработке забоя на ширину обделки  $T_{\text{ц}}$ , число циклов по отработке забоя на ширину кольца крепи  $n$ , коэффициент технически возможной непрерывной работы комплекса по проходке и сооружению тоннеля  $k_m$ , – коэффициент непрерывности работы комплекса в процессе эксплуатации  $k_s$ , теоретическую, техническую и эксплуатационную производительность проходческого щитового комплекса КТ1-5,6Э. Расчётные данные: глубина врезания лопаты в грунт данной категории  $hf = 0,25$  м; диаметр щита  $D_{\text{щ}}$  = 5,63 м; время цикла по отработке забоя на глубину ( $hf$ ) врезания  $t_s = 16$  мин; ширина обделки  $B = 0,75$  м; несовмещенное с разработкой забоя и другими операциями время на откатку вагонеток и подачу блоков обделки  $t_{\text{мп}} = 20$  мин; время установки кольца обделки  $t_{\text{кр}} = 10$  мин; не совмещенное время тампонажных работ  $t_{\text{там}} = 40$  мин; время передвижки щита на ширину кольца обделки  $t_{\text{пер}} = 4$  мин; время устранения отказов за цикл  $t_{\text{yn}} = 2$  мин/цикл; время простоев по эксплуатационно-организационным причинам (за цикл)  $t_{\text{зо}} = 3$  мин.

26. Рассчитать для переносного перфоратора ПП63В мощность ударного механизма  $N_{\text{уд}}$ , мощность механизма вращения  $N_{\text{вр}}$ , суммарную мощность  $N_{\Sigma}$ , удельный расход воздуха  $q$  и скорость бурения  $v$ . Построить графики зависимостей  $v = f(d)$  и  $v = f(\sigma)$ .

Расчётные данные:

Энергия удара поршня -  $A_{\text{уд}} = 63,74$  Дж; частота ударов -  $n = 30$  с<sup>-1</sup>; крутящий момент  $M = 26,93$  Н·м; частота вращения бурового инструмента -  $n_{\text{вр}} = 1,03$  с<sup>-1</sup>; расхода воздуха -  $Q = 3,85$  м<sup>3</sup>/мин; диаметр шпура -  $d = 42$  мм, буримая порода – бакальский кварцит (временное сопротивление раздавливанию  $\sigma = 190$  МПа).

27. Рассчитать для переносного перфоратора ПП63В мощность ударного механизма  $N_{\text{уд}}$ , мощность механизма вращения  $N_{\text{вр}}$ , суммарную мощность  $N_{\Sigma}$ , удельный расход воздуха  $q$  и скорость бурения  $v$ . Построить графики зависимостей  $v = f(d)$  и  $v = f(\sigma)$ .

Расчётные данные:

Энергия удара поршня -  $A_{\text{уд}} = 63,74$  Дж; частота ударов -  $n = 30$  с<sup>-1</sup>; крутящий момент  $M = 26,93$  Н·м; частота вращения бурового инструмента -  $n_{\text{вр}} = 1,03$  с<sup>-1</sup>; расхода воздуха -  $Q = 3,85$  м<sup>3</sup>/мин; диаметр шпура -  $d = 40$  мм, буримая порода – кристаллический сидерит (временное сопротивление раздавливанию  $\sigma = 139$  МПа).

28. Определить эксплуатационную производительность  $Q_s$  проходческого комбайна ГПКС со стреловидным исполнительным органом. Исходные данные: скорость перемещения коронки  $V_k = 0,01$  м/с; ширина захвата коронки  $B_z = 0,8$  м; минимальный диаметр коронки  $D_{\text{min}} = 0,5$  м; максимальный диаметр коронки  $D_{\text{max}} = 0,9$  м; коэффициент использования коронки по диаметру  $k_d = 0,9$ ; сечение выработки в проходке  $S_{\text{пр}} = 12$  м<sup>2</sup>; шаг установки рам крепи  $l = 1$  м; коэффициент организации работ  $k_{\text{ор}} = 1,2$ ; время несовмещенных вспомогательных операций  $T_{\text{вo}} = 45$  мин; время простоев по эксплуатационно-организационным причинам  $T_{\text{зо}} = 8$  мин; продолжительность смены  $T_{\text{см}} = 6$  ч;  $T_{\text{m01}}$  – время ежесменного технического обслуживания комплекса,  $T_{\text{m01}} = 0,5$  часа;  $T_{\text{pn}}$  – время регламентированного перерыва,  $T_{\text{pn}} = 0,33$  часа.

29. Рассчитать для переносного перфоратора ПП54В1 мощность ударного механизма  $N_{\text{уд}}$ , мощность механизма вращения  $N_{\text{вр}}$ , суммарную мощность  $N_{\Sigma}$ , удельный расход воздуха  $q$  и скорость бурения  $v$ . Построить графики зависимостей  $v = f(d)$  и  $v = f(\sigma)$ .

Расчётные данные:

Энергия удара поршня -  $A_{\text{уд}} = 55,5$  Дж; частота ударов -  $n = 39,16$  с<sup>-1</sup>; крутящий момент

$M = 29,43 \text{ Н}\cdot\text{м}$ ; частота вращения бурового инструмента -  $n_{\text{вр}} = 1,03 \text{ с}^{-1}$ ; расхода воздуха -  $Q = 4,1 \text{ м}^3/\text{мин}$ ; диаметр шпура -  $d = 40 \text{ мм}$ , буримая порода – серицитизированный диабаз (временное сопротивление раздавливанию  $\sigma = 107 \text{ МПа}$ ).

30. Рассчитать техническую и эксплуатационную скорость бурения для бурового станка БК-2П с бурильной головкой – перфоратором ПК60А. Расчётные данные: энергия удара перфоратора  $A = 95 \text{ Дж}$ ; частота ударов  $n = 45 \text{ с}^{-1}$ ; диаметр шпура  $d = 45 \text{ мм}$ ; коэффициент крепости пород  $f = 10$ ; декремент затухания энергии силового импульса  $\alpha = 0,05$ ; глубина шпура  $L = 3,8 \text{ м}$ ; коэффициент готовности  $k_z = 0,9$ ; число бурильных машин на установке  $R = 2$ ; скорость обратного хода бурильной головки  $v_{\text{ох}} = 13 \text{ м/мин}$ ;  $k_o = 0,8$ ; стойкость резца (коронки) на одну заточку  $B = 15 \text{ м}$ ; время замены резца (коронки)  $T_z = 7 \text{ мин}$ ; время наведения бурильной машины с одного шпура (скважины) на другой  $T_n = 3 \text{ мин}$ ; время забуривания шпура (скважины)  $T_{\text{зб}} = 1 \text{ мин}$ ; число шпуров в забое  $m = 30$ ; длительность смены  $T_{\text{см}} = 360 \text{ мин}$ ; время на подготовительно-заключительные операции  $T_{\text{пз}} = 42 \text{ мин}$ ; время организационных простоев  $T_{\text{он}} = 34 \text{ мин}$ ; время перегона установки  $T_n = 28 \text{ мин}$ .

## 7. Оценочные средства для проведения промежуточной аттестации

Промежуточная аттестация имеет целью определить степень достижения запланированных результатов обучения по дисциплине (модулю) за период обучения и проводится в форме зачета, экзамена, защиты курсового проекта.

### а) Планируемые результаты обучения и оценочные средства для проведения промежуточной аттестации:

Структурный элемент компетенции	Планируемые результаты обучения	Оценочные средства
<b>ОПК-6 готовностью использовать научные законы и методы при оценке состояния окружающей среды в сфере функционирования производств по эксплуатационной разведке, добыче и переработке твердых полезных ископаемых, а также при строительстве и эксплуатации подземных объектов</b>		
Знать	<ul style="list-style-type: none"> <li>- конструкции и принципы действия современных горных машин;</li> <li>- технические характеристики современных горных машин;</li> <li>- перспективные направления развития горных машин.</li> </ul>	<p><b>Практическая работа № 1</b></p> <ol style="list-style-type: none"> <li>1. Основные типы режущих инструментов</li> <li>2. Элементы и параметры резцов</li> <li>3. Конструктивные особенности радиальных резцов</li> <li>4. Конструктивные особенности тангенциальных резцов</li> <li>5. Материалы, применяемые при изготовлении резцов</li> <li>6. Способы крепления резцов на исполнительных органах</li> <li>7. Конструктивные особенности режущих инструментов проходческих комбайнов.</li> <li>8. Конструктивные особенности режущих инструментов для бурильных машин</li> <li>9. Элементы и параметры буровых резцов</li> </ol> <p><b>Практическая работа № 2</b></p> <ol style="list-style-type: none"> <li>1. Классификация и область применения раздавливающего инструмента</li> <li>2. Основные типы раздавливающих инструментов</li> <li>3. Элементы и параметры дисковых шарошек</li> <li>4. Конструктивные особенности дисковых шарошек и схем их установки на коронках проходческих комбайнов</li> <li>5. Конструктивные особенности дисковых шарошек и схем их установки на шнеках очистных комбайнов</li> <li>6. Конструктивные особенности дисковых шарошек и схем их установки на расширителях буровых машин</li> <li>7. Элементы и параметры штыревых шарошек</li> <li>8. Элементы и параметры зубчатых шарошек</li> </ol>

Структурный элемент компетенции	Планируемые результаты обучения	Оценочные средства
		<p>9. Классификация раздавливающего инструмента для бурения скважин на открытых горных работах</p> <p>10. Конструктивные особенности опор шарошечных долот</p> <p>11. Конструктивные особенности одношарошечных долот</p> <p>12. Конструктивные особенности двух шарошечных долот</p> <p>13. Конструктивные особенности трех шарошечных долот</p> <p>14. Конструктивные особенности комбинированных долот</p> <p><b>Практическая работа № 3</b></p> <p>1. Унифицированный ряд комбайнов РКУ</p> <p>2. Конструктивные особенности очистного комбайна РКУ 13</p> <p>3. Конструктивные особенности очистного комбайна РКУ16</p> <p>4. Конструктивные особенности кинематической схемы РКУ13</p> <p>5. Конструктивные особенности узлов и механизмов очистного комбайна типа РКУ</p> <p>6. Конструктивные особенности редуктора режущей части</p> <p>7. Конструктивные особенности механизма подачи</p> <p>8. Конструктивные особенности поворотного редуктора</p> <p>9. Конструктивные особенности шнека</p> <p>10. Конструктивные особенности кронштейна</p> <p>11. Конструктивные особенности рамы</p> <p>12. Конструктивные особенности гидросхемы</p> <p><b>Практическая работа № 4</b></p> <p>1. Область применения очистного комбайна 1КШЭ</p> <p>2. Конструктивные особенности очистного комбайна 1КШЭ</p> <p>3. Конструктивные особенности кинематической схемы</p> <p>4. Конструктивные особенности центрального редуктора исполнительного органа</p> <p>5. Конструктивные особенности шнека</p> <p>6. Конструктивные особенности поворотного редуктора</p> <p>7. Конструктивные особенности опорно-направляющего механизма</p> <p>8. Конструктивные особенности гидрооборудования</p> <p>9. Конструктивные особенности гидравлической схемы</p> <p><b>Практическая работа № 5</b></p> <p>1. Классификация механизированных крепей</p> <p>2. Конструктивные особенности механизированной крепи ПИОМА 25/45-Оз</p>

Структурный элемент компетенции	Планируемые результаты обучения	Оценочные средства
		<p>3. Конструктивные особенности секции крепи  4. Конструктивные особенности основания  5. Конструктивные особенности проставки  6. Конструктивные особенности ограждения  7. Конструктивные особенности козырька  8. Конструктивные особенности гидростойки  9. Конструктивные особенности гидродомкратов: передвижки, козырька, щитов  10. Конструктивные особенности тяги передвижки  11. Конструктивные особенности гидравлической схемы  12. Конструктивные особенности гидрораспределителя управления  13. Конструктивные особенности гидроблока стойки  14. Конструктивные особенности и принцип действия индикатора давления</p> <p><b>Практическая работа № 6</b></p> <p>1. Область применения бурового станка СБШ-250-МНА-32  2. Конструктивные особенности бурового станка СБШ-250-МНА-32  3. Конструктивные особенности вращателя  4. Конструктивные особенности редуктора вращателя  5. Конструктивные особенности шинно-зубчатой муфты  6. Конструктивные особенности опорного узла  7. Конструктивные особенности механизма подачи  8. Конструктивные особенности кассеты  9. Конструктивные особенности машинного отделения  10. Конструктивные особенности схемы гидропривода станка</p> <p><b>Практическая работа № 7</b></p> <p>1. Область применения бурового станка ЗСБШ-200-60  2. Конструктивные особенности бурового станка ЗСБШ-200-60  3. Схема расположения оборудования на платформе бурового станка  4. Конструктивные особенности рабочего органа  5. Конструктивные особенности вращательно-подающего механизма  6. Конструктивные особенности редуктора вращателя  7. Конструктивные особенности гидропатрона  8. Конструктивные особенности гидроцилиндра подачи  9. Конструктивные особенности вертлюга</p>

Структурный элемент компетенции	Планируемые результаты обучения	Оценочные средства
		10. Конструктивные особенности редуктора лебедки 11. Конструктивные особенности редуктора ходовой части 12. Конструктивные особенности гидродомкрата горизонтирования станка 13. Конструктивные особенности и принцип работы установки сухого пылеулавливания 14. Конструктивные особенности кабельного барабана 15. Кинематическая схема привода кабельного барабана 16. Конструктивные особенности кабелеукладчика
Уметь	<ul style="list-style-type: none"> <li>- использовать актуальные стандарты и нормативную документацию в горных машинах;</li> <li>- анализировать состояние и перспективы развития горных машин;</li> <li>- использовать современные подходы к анализу горных машин.</li> </ul>	<b>Коллоквиум № 1</b> Основные закономерности разрушения горных пород инструментом горных машин: <ol style="list-style-type: none"> <li>1. Прочность горной породы</li> <li>2. Пластичность горной породы</li> <li>3. Деформируемость горной породы</li> <li>4. Твердость горной породы</li> <li>5. Крепость горной породы</li> <li>6. Абразивность горной породы</li> <li>7. Сопротивляемость угля резанию</li> <li>8. Удельная энергоёмкость резанию</li> <li>9. Степень хрупкости угля</li> <li>10. Показатель разрушаемости угольных пластов</li> <li>11. Силы, действующие на резец при разрушении угля</li> <li>12. Параметры разрушения и виды резов</li> <li>13. Основные закономерности процесса разрушения угля резанием</li> <li>14. Зависимость силовых и энергетических показателей процесса резания от ширины реза</li> <li>15. Зависимость силовых и энергетических показателей процесса резания от угла резания резца</li> <li>16. Зависимость силовых и энергетических показателей процесса резания от заднего угла резца</li> <li>17. Определение усилия резания на остром резце при резании угля</li> <li>18. Определение усилия резания на остром резце при резании породы</li> <li>19. Определение усилий, действующих на дисковую шарошку</li> <li>20. Типы и типоразмеры породоразрушающих инструментов, их основные параметры</li> </ol>

Структурный элемент компетенции	Планируемые результаты обучения	Оценочные средства
		<p>21. Классификация рабочих инструментов горных машин</p> <p>22. Элементы и параметры резцов</p> <p>23. Основные типы и конструктивные особенности резцов</p> <p>24. Материалы, применяемые при изготовлении резцов</p> <p>25. Режущий инструмент струговых установок</p> <p>26. Рабочий инструмент проходческих комбайнов</p> <p>27. Типы и типоразмеры горных машин для механизации разработки полезных ископаемых подземным способом, их характеристики и принцип действия</p> <p>28. Классификация проходческих комбайнов</p> <p>29. Исполнительные органы проходческих комбайнов</p> <p>30. Погрузочные органы проходческих комбайнов</p> <p>31. Ходовое оборудование проходческих комбайнов</p> <p>32. Классификация бурильных машин</p> <p>33. Бурильные машины вращательного действия для бурения шпуров. Инструмент бурильных машин</p> <p>34. Бурильные машины ударно-поворотного действия для бурения шпуров и скважин. Инструмент бурильных машин</p> <p>35. Буровые станки вращательного действия для бурения скважин. Инструмент буровых станков</p> <p>36. Проходческие комплексы для проведения горизонтальных и наклонных горных выработок</p> <p>37. Щитовые проходческие комплексы</p> <p><b>Коллоквиум № 2</b></p> <p>Типы и типоразмеры горных машин для механизации разработки полезных ископаемых подземным способом, их характеристики и принцип действия:</p> <p>1. Классификация очистных комбайнов</p> <p>2. Классификация исполнительных органов очистных комбайнов</p> <p>3. Шнековые исполнительные органы очистных комбайнов</p> <p>4. Погрузочные исполнительные органы очистных комбайнов</p> <p>5. Механизмы подачи очистных комбайнов</p> <p>6. Силовое оборудование очистных комбайнов</p> <p>7. Средства борьбы с пылью при работе очистного комбайна</p> <p>8. Очистные комбайны для средней мощности и мощных пластов</p>

Структурный элемент компетенции	Планируемые результаты обучения	Оценочные средства
		9. Классификация струговых установок 10. Состав оборудования струговой установки 11. Классификация механизированных крепей 12. Устройство, конструктивные элементы секции механизированной крепи 13. Инструмент для станков ударно-вращательного (пневмоударного) бурения. 14. Инструмент для станков вращательного бурения шарошечными долотами. 15. Инструмент для станков вращательного бурения режущими долотами со шнековой очисткой скважин 16. Комбинированный буровой инструмент 17. Буровые штанги для бурения взрывных скважин шарошечными долотами. 18. Шнековые буровые штанги
Владеть	<ul style="list-style-type: none"> <li>- методиками анализа состояния горных машин и оборудования;</li> <li>- современными методиками расчета и проектирования горных машин;</li> <li>- навыками поиска и анализа информации о перспективных методах горных машин.</li> </ul>	31. Рассчитать для переносного перфоратора ПП50В1 мощность ударного механизма $N_{уд}$ , мощность механизма вращения $N_{вр}$ , суммарную мощность $N_{\Sigma}$ , удельный расход воздуха $q$ и скорость бурения $v$ . Построить графики зависимостей $v = f(d)$ и $v = f(\sigma)$ . Расчётные данные: Энергия удара поршня - $A_{уд} = 54$ Дж; частота ударов - $n = 37$ с-1; крутящий момент $M = 20$ Н·м; частота вращения бурового инструмента - $n_{вр} = 1,54$ с-1; расхода воздуха - $Q = 3,4$ м <sup>3</sup> /мин; диаметр шпура - $d = 38$ мм, буримая порода – гранодиарит (временное сопротивление раздавливанию $\sigma = 95,3$ МПа). 32. Рассчитать для переносного перфоратора ПП36В мощность ударного механизма $N_{уд}$ , мощность механизма вращения $N_{вр}$ , суммарную мощность $N_{\Sigma}$ , удельный расход воздуха $q$ и скорость бурения $v$ . Построить графики зависимостей $v = f(d)$ и $v = f(\sigma)$ . Расчётные данные: Энергия удара поршня - $A_{уд} = 36$ Дж; частота ударов- $n = 38,33$ с-1; крутящий момент $M = 20$ Н·м; частота вращения бурового инструмента - $n_{вр} = 1,54$ с-1; расхода воздуха - $Q = 2,8$ м <sup>3</sup> /мин; диаметр шпура - $d = 32$ мм; буримая порода – среднезернистый песчаник (временное сопротивление раздавливанию $\sigma = 12$ МПа). 33. Рассчитать основные, производительность и(скорость бурения) бурового станка СБУ-100Г с пневмоударником ПП105-2,4. Расчётные данные: энергия удара $A$

Структурный элемент компетенции	Планируемые результаты обучения	Оценочные средства
		<p>= 190 Дж; частота ударов <math>n = 21</math> с-1; диаметр долота <math>d = 125</math> мм; коэффициент крепости пород <math>f = 12</math>; коэффициент падения скорости бурения с глубиной скважины <math>\beta = 0,0004</math> м-1; глубина скважины <math>L = 36</math> м; коэффициент готовности станка <math>k_g = 0,86</math>; стойкость долота на одну заточку <math>B = 12</math> м; время навинчивания одной штанги <math>t_n = 0,8</math> мин; время развинчивания одной штанги <math>t_r = 1,2</math> мин; длина штанги <math>l = 0,95</math> м; время замены долота <math>T_z = 8</math> мин; время наведения станка на скважину <math>T_n = 5</math> мин; время забуривания скважины <math>T_{зб} = 1</math> мин; число скважин в забое <math>m = 14</math>; длительность смены <math>T_{см} = 360</math> мин; время на подготовительно-заключительные операции <math>T_{пз} = 24</math> мин; время организационных простоев <math>T_{оп} = 10</math> мин; время перегона станка <math>T_{п} = 18</math> мин.</p> <p>34. Определить машинное время работы комбайна по добыче <math>t_r</math>, коэффициент совершенства схемы работы оборудования комплекса <math>k_c</math>, эксплуатационную производительность <math>Q_э</math> для очистного комбайнового комплекса 1ОКП70Е, В состав комплекса входит комбайн 2ГШ68Е. Расчётные данные: вынимаемая мощность пласта <math>m = 2,20</math> м; длина лавы <math>L = 120</math> м; ширина захвата очистного комбайна <math>B_z = 0,5</math> м; плотность угля <math>\gamma = 1,4</math> т/м<sup>3</sup>; скорость подачи комбайна <math>V_{п} = 4,8</math> м/мин; затраты времени на выполнение вспомогательных операций (концевых, маневровых, по зачистке забоя) <math>t_{во} = 32</math> мин (за один рабочий цикл); коэффициент готовности, отражающий уровень надёжности оборудования комплекса <math>k_g = 0,8</math>; коэффициент непрерывности работы комплекса, учитывающий простои по организационным и эксплуатационным причинам <math>k_{э.о} = 0,85</math>.</p> <p>35. Рассчитать площадь разрабатываемой груди забоя <math>S</math>, время цикла по отработке забоя на ширину обделки <math>T_ц</math>, число циклов по отработке забоя на ширину кольца крепи <math>p</math>, коэффициент технически возможной непрерывной работы комплекса по проходке и сооружению тоннеля <math>k_{тп}</math>, – коэффициент непрерывности работы комплекса в процессе эксплуатации <math>k_э</math>, теоретическую, техническую и эксплуатационную производительность проходческого щитового комплекса КПЩМ-3,6Э. Расчётные данные: глубина врезания лопаты в грунт данной категории <math>h_f = 0,16</math> м; диаметр щита <math>D_{щ} = 3,62</math> м; время цикла по отработке забоя на глубину (<math>h_f</math>) врезания <math>t_z = 14</math> мин; ширина обделки <math>B = 0,75</math> м; несовмещенное с разработкой</p>

Структурный элемент компетенции	Планируемые результаты обучения	Оценочные средства
		<p>забоя и другими операциями время на откатку вагонеток и подачу блоков обделки <math>t_{пр} = 14</math> мин; время установки кольца обделки <math>t_{кр} = 12</math> мин; несовмещенное время тампонажных работ <math>t_{там} = 44</math> мин; время передвижки щита на ширину кольца обделки <math>t_{пер} = 5</math> мин; время устранения отказов за цикл <math>t_{ун} = 3</math> мин/цикл; время простоев по эксплуатационно-организационным причинам (за цикл) <math>t_{эо} = 4</math> мин.</p> <p>36. Рассчитать для переносного перфоратора ПП63В мощность ударного механизма <math>N_{уд}</math>, мощность механизма вращения <math>N_{вр}</math>, суммарную мощность <math>N_{\Sigma}</math>, удельный расход воздуха <math>q</math> и скорость бурения <math>v</math>. Построить графики зависимостей <math>v = f(d)</math> и <math>v = f(\sigma)</math>.</p> <p>Расчётные данные:  Энергия удара поршня - <math>A_{уд} = 63,74</math> Дж; частота ударов - <math>n = 30</math> с<sup>-1</sup>; крутящий момент <math>M = 26,93</math> Н·м; частота вращения бурового инструмента - <math>n_{вр} = 1,03</math> с<sup>-1</sup>; расхода воздуха - <math>Q = 3,85</math> м<sup>3</sup>/мин; диаметр шпура - <math>d = 42</math> мм, буримая порода – бакальский кварцит (временное сопротивление раздавливанию <math>\sigma = 190</math> МПа).</p> <p>37. Определить эксплуатационную производительность <math>Q_{э}</math> проходческого комбайна 4ПП2 со стреловидным исполнительным органом. Исходные данные: скорость перемещения коронки <math>V_k = 1,65</math> м/мин; ширина захвата коронки <math>B_z = 0,95</math> м; минимальный диаметр коронки <math>D_{min} = 0,55</math> м; максимальный диаметр коронки <math>D_{max} = 0,95</math> м; коэффициент использования коронки по диаметру <math>k_d = 0,7</math>; сечение выработки в проходке <math>S_{пр} = 12</math> м<sup>2</sup>; шаг установки рам крепи <math>l = 1</math> м; коэффициент организации работ <math>k_{ор} = 1,3</math>; время несовмещенных вспомогательных операций <math>T_{во} = 45</math> мин; время простоев по эксплуатационно-организационным причинам <math>T_{эо} = 10</math> мин; продолжительность смены <math>T_{см} = 6</math> ч; <math>T_{м01}</math> – время ежесменного технического обслуживания комплекса, <math>T_{м01} = 0,5</math> часа; <math>T_{рп}</math> – время регламентированного перерыва, <math>T_{рп} = 0,33</math> часа.</p> <p>38. Определить эксплуатационную производительность <math>Q_{э}</math> проходческого комбайна ГПКС со стреловидным исполнительным органом. Исходные данные: скорость перемещения коронки <math>V_k = 1,05</math> м/мин; ширина захвата коронки <math>B_z = 0,7</math> м; минимальный диаметр коронки <math>D_{min} = 0,45</math> м; максимальный диаметр коронки <math>D_{max} = 0,85</math> м; коэффициент использования коронки по диаметру <math>k_d = 0,9</math>; сечение</p>

Структурный элемент компетенции	Планируемые результаты обучения	Оценочные средства
		<p>выработки в проходке <math>S_{пр} = 13</math> м<sup>2</sup>; шаг установки рам крепи <math>l = 1</math> м; коэффициент организации работ <math>кор = 1,1</math>; время несовмещенных вспомогательных операций <math>T_{во} = 45</math> мин; время простоев по эксплуатационно-организационным причинам <math>T_{эо} = 12</math> мин; продолжительность смены <math>T_{см} = 6</math> ч; <math>T_{м01}</math> – время ежесменного технического обслуживания комплекса, <math>T_{м01} = 0,5</math> часа; <math>T_{рп}</math> – время регламентированного перерыва, <math>T_{рп} = 0,33</math> часа.</p> <p>39. Рассчитать основные показатели, производительность и скорость бурения бурового станка СБУ-100Г с пневмударником П125-3,8. Расчётные данные: энергия удара <math>A = 190</math> Дж; частота ударов <math>n = 21</math> с<sup>-1</sup>; диаметр долота <math>d = 125</math> мм; коэффициент крепости пород <math>f = 12</math>; коэффициент падения скорости бурения с глубиной скважины <math>\beta = 0,0004</math> м<sup>-1</sup>; глубина скважины <math>L = 36</math> м; коэффициент готовности станка <math>k_g = 0,86</math>; стойкость долота на одну заточку <math>B = 20</math> м; время навинчивания одной штанги <math>t_n = 0,8</math> мин; время развинчивания одной штанги <math>t_r = 1,2</math> мин; длина штанги <math>l = 0,95</math> м; время замены долота <math>T_z = 4</math> мин; время наведения станка на скважину <math>T_n = 4</math> мин; время забуривания скважины <math>T_{зб} = 1</math> мин; число скважин в забое <math>m = 16</math>; длительность смены <math>T_{см} = 360</math> мин; время на подготовительно-заключительные операции <math>T_{пз} = 24</math> мин; время организационных простоев <math>T_{оп} = 10</math> мин; время перегона станка <math>T_p = 18</math> мин.</p> <p>40. Рассчитать техническую и эксплуатационную скорость бурения для бурового станка БКГ-2 с бурильной головкой – перфоратором ГП-1. Расчётные данные: энергия удара перфоратора <math>A = 98</math> Дж; частота ударов <math>n = 90</math> с<sup>-1</sup>; диаметр шпура <math>d = 55</math> мм; коэффициент крепости пород <math>f = 13</math>; декремент затухания энергии силового импульса <math>\alpha = 0,03</math>; глубина шпура <math>L = 3</math> м; коэффициент готовности <math>k_g = 0,94</math>; число бурильных машин на установке <math>R = 2</math>; <math>k_o = 1; 0,8; 0,7</math> при числе бурильных машин соответственно 1; 2; 3 <math>k_o = 0,8</math>; стойкость резца (коронки) на одну заточку <math>B = 15</math> м; ; скорость обратного хода бурильной головки <math>v_{ох} = 12</math> м/мин; время замены резца (коронки) <math>T_z = 7</math> мин; время наведения бурильной машины с одного шпура (скважины) на другой <math>T_n = 2</math> мин; время забуривания шпура (скважины) <math>T_{зб} = 1</math> мин; число шпуров в забое <math>m = 32</math>; длительность смены <math>T_{см} = 360</math> мин; время на подготовительно-заключительные операции <math>T_{пз} = 42</math> мин; время организационных</p>

Структурный элемент компетенции	Планируемые результаты обучения	Оценочные средства
		<p>простоев <math>T_{оп} = 34</math> мин; время перегона установки <math>T_{п} = 28</math> мин.</p> <p>41. Рассчитать основные показатели, производительность и скорость бурения бурового станка СБУ-125У-52 с пневмоударником П125-3,8. Расчётные данные: энергия удара <math>A = 190</math> Дж; частота ударов <math>n = 21</math> с-1; диаметр долота <math>d = 125</math> мм; коэффициент крепости пород <math>f = 12</math>; коэффициент падения скорости бурения с глубиной скважины <math>\beta = 0,0004</math> м-1; глубина скважины <math>L = 24</math> м; коэффициент готовности станка <math>k_g = 0,92</math>; стойкость долота на одну заточку <math>B = 20</math> м; время навинчивания одной штанги <math>t_n = 0,6</math> мин; время развинчивания одной штанги <math>t_r = 1,3</math> мин; длина штанги <math>l = 4,25</math> м; время замены долота <math>T_z = 4</math> мин; время наведения станка на скважину <math>T_n = 4,5</math> мин; время забуривания скважины <math>T_{зб} = 1</math> мин; число скважин в забое <math>m = 12</math>; длительность смены <math>T_{см} = 360</math> мин; время на подготовительно-заключительные операции <math>T_{пз} = 18</math> мин; время организационных простоев <math>T_{оп} = 12</math> мин; время перегона станка <math>T_{п} = 20</math> мин.</p> <p>42. Рассчитать для переносного перфоратора ПП50В1 мощность ударного механизма <math>N_{уд}</math>, мощность механизма вращения <math>N_{вр}</math>, суммарную мощность <math>N_{\Sigma}</math>, удельный расход воздуха <math>q</math> и скорость бурения <math>v</math>. Построить графики зависимостей <math>q = f(d)</math> и <math>v = f(\sigma)</math>.</p> <p>Расчётные данные:  Энергия удара поршня - <math>A_{уд} = 54</math> Дж; частота ударов - <math>n = 37</math> с-1; крутящий момент <math>M = 20</math> Н·м; частота вращения бурового инструмента - <math>n_{вр} = 1,03</math> с-1; расхода воздуха - <math>Q = 3,4</math> м<sup>3</sup>/мин; диаметр шпура - <math>d = 36</math> мм, буримая порода – бакальский кварцит (временное сопротивление раздавливанию <math>\sigma = 190</math> МПа).</p> <p>43. Рассчитать основные показатели, производительность бурового станка СБУ-125У-52 с пневмоударником П-125-3,8. Расчётные данные: энергия удара <math>A = 190</math> Дж; частота ударов <math>n = 21</math> с-1; диаметр долота <math>d = 125</math> мм; коэффициент крепости пород <math>f = 14</math>; коэффициент падения скорости бурения с глубиной скважины <math>\beta = 0,0004</math> м-1; глубина скважины <math>L = 36</math> м; коэффициент готовности станка <math>k_g = 0,86</math>; стойкость долота на одну заточку <math>B = 20</math> м; время навинчивания одной штанги <math>t_n = 0,9</math> мин; время развинчивания одной штанги <math>t_r = 1,3</math> мин; длина штанги <math>l = 4,25</math> м; время замены долота <math>T_z = 4</math> мин; время наведения станка на скважину <math>T_n = 4</math> мин;</p>

Структурный элемент компетенции	Планируемые результаты обучения	Оценочные средства
		<p>время забуривания скважины <math>T_{зб} = 1</math> мин; число скважин в забое <math>m = 16</math>; длительность смены <math>T_{см} = 360</math> мин; время на подготовительно-заключительные операции <math>T_{пз} = 24</math> мин; время организационных простоев <math>T_{оп} = 12</math> мин; время перегона станка <math>T_{п} = 26</math> мин.</p> <p>44. Определить машинное время работы комбайна по добыче <math>t_p</math>, коэффициент совершенства схемы работы оборудования комплекса <math>k_c</math>, эксплуатационную производительность <math>Q_э</math> для очистного комбайнового комплекса КМ142, В состав комплекса входит комбайн 1КШЭ. Расчётные данные: вынимаемая мощность пласта <math>m = 4</math> м; длина лавы <math>L = 150</math> м; ширина захвата очистного комбайна <math>B_з = 0,5</math> м; плотность угля <math>\gamma = 1,4</math> т/м<sup>3</sup>; скорость подачи комбайна <math>V_{п} = 3,8</math> м/мин; затраты времени на выполнение вспомогательных операций (концевых, маневровых, по зачистке забоя) <math>t_{во} = 32</math> мин (за один рабочий цикл); коэффициент готовности, отражающий уровень надёжности оборудования комплекса <math>k_g = 0,85</math>; коэффициент непрерывности работы комплекса, учитывающий простои по организационным и эксплуатационным причинам <math>k_{э.о} = 0,88</math>.</p> <p>45. Рассчитать площадь разрабатываемой груди забоя <math>S</math>, время цикла по отработке забоя на ширину обделки <math>T_ц</math>, число циклов по отработке забоя на ширину кольца крепи <math>p</math>, коэффициент технически возможной непрерывной работы комплекса по проходке и сооружению тоннеля <math>k_{тп}</math>, – коэффициент непрерывности работы комплекса в процессе эксплуатации <math>k_э</math>, теоретическую, техническую и эксплуатационную производительность проходческого щитового комплекса КПЩМ-2,6Э. Расчётные данные: глубина врезания лопаты в грунт данной категории <math>h_f = 0,18</math> м; диаметр щита <math>D_{щ} = 2,59</math> м; время цикла по отработке забоя на глубину (<math>h_f</math>) врезания <math>t_з = 18</math> мин; ширина обделки <math>B = 0,75</math> м; несовмещенное с разработкой забоя и другими операциями время на откатку вагонеток и подачу блоков обделки <math>t_{пр} = 12</math> мин; время установки кольца обделки <math>t_{кр} = 10</math> мин; несовмещенное время гампонажных работ <math>t_{гам} = 38</math> мин; время передвижки щита на ширину кольца обделки <math>t_{пер} = 6</math> мин; время устранения отказов за цикл <math>t_{ун} = 3</math> мин/цикл; время простоев по эксплуатационно-организационным причинам (за цикл) <math>t_{эо} = 3</math> мин.</p>
<b>ПК-14 готовностью участвовать в исследованиях объектов профессиональной деятельности и их структурных элементов</b>		

Структурный элемент компетенции	Планируемые результаты обучения	Оценочные средства
Знать	<p>-основные составные части машин и оборудования непрерывного транспорта;</p> <p>- принципы функционирования машин и оборудования непрерывного транспорта;</p> <p>- технические характеристики и параметры машин и оборудования непрерывного транспорта.</p>	<p><b>Практическая работа № 8</b></p> <ol style="list-style-type: none"> <li>1. Область применения карьерного экскаватора ЭКГ-10</li> <li>2. Конструктивные особенности карьерного экскаватора ЭКГ-10</li> <li>3. Конструктивные особенности ковша карьерного экскаватора</li> <li>4. Конструктивные особенности рукояти карьерного экскаватора</li> <li>5. Конструктивные особенности стрелы карьерного экскаватора</li> <li>4. Конструктивные особенности седлового подшипника</li> <li>5. Конструктивные особенности головных блоков</li> <li>6. Конструктивные особенности двуногой стойки</li> <li>7. Конструктивные особенности оборудования поворотной платформы</li> <li>8. Конструктивные особенности лебедки подъема</li> <li>9. Конструктивные особенности барабана-редуктора</li> <li>10. Схемы запасовки канатов, принцип работы подъемной и напорной лебедок</li> <li>11. Конструктивные особенности лебедки напора</li> <li>12. Конструктивные особенности привода механизма поворота</li> <li>13. Конструктивные особенности редуктора механизма поворота</li> <li>14. Конструктивные особенности центральной цапфы</li> <li>15. Конструктивные особенности ходовой тележки</li> <li>16. Конструктивные особенности роликового круга</li> <li>17. Конструктивные особенности кабельного барабана</li> <li>18. Схема пневмосистемы</li> </ol> <p><b>Практическая работа № 9</b></p> <ol style="list-style-type: none"> <li>1. Область применения карьерного экскаватора ЭКГ-15</li> <li>2. Конструктивные особенности карьерного экскаватора ЭКГ-15</li> <li>3. Конструктивные особенности ковша карьерного экскаватора</li> <li>4. Конструктивные особенности рукояти карьерного экскаватора</li> <li>5. Конструктивные особенности стрелы карьерного экскаватора</li> <li>4. Конструктивные особенности седлового подшипника</li> <li>5. Конструктивные особенности двуногой стойки</li> <li>7. Конструктивные особенности оборудования поворотной платформы</li> <li>8. Конструктивные особенности лебедки подъема</li> <li>9. Схемы запасовки канатов, принцип работы подъемной и напорной лебедок</li> <li>10. Конструктивные особенности лебедки напора</li> </ol>

Структурный элемент компетенции	Планируемые результаты обучения	Оценочные средства
		<p>11. Конструктивные особенности привода механизма поворота  12. Конструктивные особенности редуктора механизма поворота  13. Конструктивные особенности нижней рамы  14. Конструктивные особенности центральной цапфы  15. Конструктивные особенности роликового круга  16. Конструктивные особенности ходовой тележки  18. Конструктивные особенности кабельного барабана  19. Пневматическая система</p> <p><b>Практическая работа № 10</b></p> <p>1. Область применения карьерного экскаватора ЭШ 40.85  2. Конструктивные особенности карьерного экскаватора ЭШ 40.85  3. Габаритные размеры экскаватора ЭШ 40.85  4. Расположение оборудования на поворотной платформе  5. Конструктивные особенности ковша  6. Схема подвески ковша, принцип работы подъемной и тяговой лебедок  7. Конструктивные особенности головных блоков  8. Конструктивные особенности направляющих блоков тяговых канатов  9. Конструктивные особенности подвески стрелы  10. Схема полиспаста подвески стрелы  11. Кинематическая схема подъемной и тяговой лебедок  12. Конструктивные особенности механизма поворота и опорно-поворотного устройства  13. Конструктивные особенности центральной цапфы  14. Принцип работы механизма шагания  15. Пневматическая система</p> <p><b>Практическая работа № 11</b></p> <p>1. Область применения карьерного экскаватора ЭГ-20  2. Конструктивные особенности карьерного экскаватора ЭГ-20  3. Расположение оборудования на поворотной платформе  4. Конструктивные особенности рабочего оборудования  5. Конструктивные особенности ковша  6. Конструктивные особенности механизма хода  7. Кинематическая схема привод гусениц</p>

Структурный элемент компетенции	Планируемые результаты обучения	Оценочные средства
		<p>8. Конструктивные особенности гусеницы</p> <p>9. Конструктивные особенности механизма поворота</p> <p>10. Конструктивные особенности опорно-поворотного устройства</p> <p>11. Конструктивные особенности насосно-генераторного агрегата</p> <p>12. Пневматическая система</p> <p>13. Устройство кабины машиниста</p> <p><b>Практическая работа № 12</b></p> <p>1. Классификация и область применения дробилок</p> <p>2. Конструктивные особенности щековой дробилки ЩДП</p> <p>3. Конструктивные особенности щековой дробилки ЩДС</p> <p>4. Конструктивные особенности конусной дробилки ККД</p> <p>5. Конструктивные особенности конусной дробилки КСД</p> <p>6. Конструктивные особенности двухвалковой дробилки ДДЗ</p> <p>7. Конструктивные особенности молотковой дробилки</p> <p>8. Конструктивные особенности, формы и параметры молотков дробилок</p> <p>9. Конструктивные особенности привода реверсивной дробилки</p> <p>11. Конструктивные особенности реверсивной молотковой дробилки</p> <p>12. Конструктивные особенности роторной дробилки типа СДМ</p> <p><b>Практическая работа № 13</b></p> <p>1. Классификация и область применения инерционных грохотов</p> <p>2. Конструктивные особенности инерционного грохота ГИТ-51Б</p> <p>3. Конструктивные особенности вибратора грохота ГИЛ</p> <p>4. Конструктивные особенности пружинной опоры грохота</p> <p>5. Конструктивные особенности подвески грохота</p> <p>6. Классификация и область применения самобалансных грохотов ГИС, ГИСЛ</p> <p>7. Конструктивные особенности инерционного грохота ГИСЛ</p> <p>7. Конструктивные особенности вибровозбудителя грохота ГИСЛ</p> <p>8. Конструктивные особенности грохота ГСЛ</p> <p>9. Конструктивные особенности вибратора самобалансного грохота ГСЛ</p> <p>11. Классификация и область применения резонансных грохотов ГРЛ и ГРД</p> <p>12. Принципиальная схема резонансного грохота ГРЛ</p> <p>13. Конструктивные особенности резонансного грохота ГРД</p> <p>14. Конструктивные особенности узла привода коробов грохота ГРД</p>

Структурный элемент компетенции	Планируемые результаты обучения	Оценочные средства
		<p>15. Классификация и область применения грохотов с неподвижной рабочей поверхностью ГГН, ГЛС</p> <p>16. Конструктивные особенности грохота ГЛС</p> <p>17. Конструктивные особенности гидрогрохота ГГЛ</p> <p>18. Классификация и область применения цилиндрических грохотов ГЦЛ</p> <p>19. Конструктивные особенности цилиндрического грохота ДЦЛ</p> <p>6.2. Вопросы к коллоквиумам</p> <p>Коллоквиумы проводятся во время лабораторных занятий на пятой, девятой, тринадцатой и семнадцатой неделях семестра.</p> <p><b>Практическая работа № 14</b></p> <ol style="list-style-type: none"> <li>1. Классификация методов обезвоживания</li> <li>2. Принцип и цикл работы центрифуг</li> <li>3. Конструктивные особенности и параметры центрифуги ФВШ</li> <li>4. Конструктивные особенности и параметры вертикальных вибрационных фильтрующих центрифуг ФВВ-1000</li> <li>5. Конструктивные особенности вибрационного привода центрифуги НВВ-1000</li> <li>6. Конструктивные особенности центрифуги ФВП-1120</li> <li>7. Конструктивные особенности центрифуги ФГВ-1320</li> <li>8. Принципиальная схема шнековой центрифуги ОГШ</li> <li>9. Конструктивные особенности и параметры осадительно-фильтрующих центрифуг ОГШ-1320Ф</li> <li>10. Конструктивные особенности и принцип работы вакуум-фильтра ДУ80-2,7/8</li> <li>11. Конструктивные особенности сектора вакуум-фильтра ДУ80-2,7/8</li> </ol> <p>На коллоквиуме студент отвечает на 3 вопроса по пройденным разделам дисциплины.</p>
Уметь	<ul style="list-style-type: none"> <li>- выделять в конструкции горных машин и оборудования основные составные части;</li> <li>- разрабатывать кинематические схемы горных машин и оборудования;</li> <li>- оценивать параметры горных машин и оборудования.</li> </ul>	<p><b>Коллоквиум № 3</b></p> <p>Типы и типоразмеры горных машин для механизации разработки полезных ископаемых открытым способом, их характеристики и принцип действия:</p> <ol style="list-style-type: none"> <li>1. Классификация экскаваторов. Конструктивные схемы одноковшовых экскаваторов</li> <li>2. Зарубежные экскаваторы</li> <li>3. Механическая прямая напорная лопата</li> <li>4. Гидравлический экскаватор (прямая и обратная лопаты)</li> <li>5. Драглайн</li> </ol>

Структурный элемент компетенции	Планируемые результаты обучения	Оценочные средства
		<p>6. Конструктивные схемы многоковшовых экскаваторов</p> <p>7. Цепной экскаватор</p> <p>8. Роторный экскаватор</p> <p>9. Фрезерный экскаватор</p> <p>10. Рабочее оборудование одноковшового экскаватора прямая механическая лопата</p> <p>11. Рабочее оборудование одноковшового экскаватора прямая и обратная гидравлическая лопата</p> <p>12. Рабочее оборудование драглайна</p> <p>13. Рабочее оборудование цепного многоковшового экскаватора</p> <p>14. Рабочее оборудование роторного экскаватора</p> <p><b>Коллоквиум № 4</b></p> <p>Типы и типоразмеры горных машин для обогащения полезных ископаемых, их характеристики и принцип действия:</p> <p>1. Инерционные щековые дробилки</p> <p>2. Колосниковые грохоты</p> <p>3. Центрифуги осадительные</p> <p>4. Тяжелосредные сепараторы</p> <p>5. Беспоршневые отсадочные машины</p> <p>6. Механические флотационные машины</p> <p>7. Пневмомеханические флотационные машины</p> <p>8. Гидрогрохоты</p> <p>9. Шаровые и стержневые мельницы</p> <p>10. Щековые дробилки</p> <p>11. Конусные дробилки крупного дробления</p> <p>12. Конусные дробилки среднего и мелкого дробления</p> <p>13. Инерционные грохоты</p> <p>14. Вагоноопрокидыватели роторные</p> <p>15. Вагоноопрокидыватели с боковой разгрузкой</p> <p>16. Инерционные самобалансные грохоты</p> <p>17. Роторные дробилки</p> <p>18. Молотковые дробилки</p> <p>19. Отсадочные машины с подвижным решетом</p>
Владеть	- методикой структурно-функционального	1. Рассчитать техническую и эксплуатационную скорость бурения для бурового

Структурный элемент компетенции	Планируемые результаты обучения	Оценочные средства
	<p>анализа горных машин и оборудования;</p> <ul style="list-style-type: none"> <li>- методиками расчета основных параметров горных машин и оборудования;</li> <li>- методиками проектирования деталей и узлов горных машин и оборудования.</li> </ul>	<p>станка БКГ-2 с бурильной головкой – перфоратором ГП-1. Расчётные данные: энергия удара перфоратора <math>A = 98</math> Дж; частота ударов <math>n = 90</math> с-1; диаметр шпура <math>d = 45</math> мм; коэффициент крепости пород <math>f = 19</math>; декремент затухания энергии силового импульса <math>\alpha = 0,03</math>; глубина шпура <math>L = 4,4</math> м; коэффициент готовности <math>k_g = 0,88</math>; число бурильных машин на установке <math>R = 2</math>; <math>k_o = 0,8</math>; стойкость резца (коронки) на одну заточку <math>B = 25</math> м; скорость обратного хода бурильной головки <math>v_{ох} = 12</math> м/мин; время замены резца (коронки) <math>T_z = 7</math> мин; время наведения бурильной машины с одного шпура (скважины) на другой <math>T_n = 3</math> мин; время забуривания шпура (скважины) <math>T_{зб} = 1</math> мин; число шпуров в забое <math>m = 40</math>; длительность смены <math>T_{см} = 360</math> мин; время на подготовительно-заключительные операции <math>T_{пз} = 52</math> мин; время организационных простоев <math>T_{оп} = 38</math> мин; время перегона установки <math>T_{п} = 26</math> мин.</p> <p>2. Рассчитать техническую и эксплуатационную скорость бурения для бурового станка БК-2П с бурильной головкой – перфоратором ПК-60А. Расчётные данные: энергия удара перфоратора <math>A = 95</math> Дж; частота ударов <math>n = 45</math> с-1; диаметр шпура <math>d = 56</math> мм; коэффициент крепости пород <math>f = 14</math>; декремент затухания энергии силового импульса <math>\alpha = 0,05</math>; глубина шпура <math>L = 4,6</math> м; коэффициент готовности <math>k_g = 0,89</math>; число бурильных машин на установке <math>R = 2</math>; <math>k_o = 0,8</math>; стойкость резца (коронки) на одну заточку <math>B = 28</math> м; ; скорость обратного хода бурильной головки <math>v_{ох} = 16</math> м/мин; время замены резца (коронки) <math>T_z = 5</math> мин; время наведения бурильной машины с одного шпура (скважины) на другой <math>T_n = 1,5</math> мин; время забуривания шпура (скважины) <math>T_{зб} = 1</math> мин; число шпуров в забое <math>m = 44</math>; длительность смены <math>T_{см} = 360</math> мин; время на подготовительно-заключительные операции <math>T_{пз} = 44</math> мин; время организационных простоев <math>T_{оп} = 26</math> мин; время перегона установки <math>T_{п} = 30</math> мин.</p> <p>3. Определить эксплуатационную производительность <math>Q_{э}</math> проходческого комбайна 4ПП2 со стреловидным исполнительным органом. Исходные данные: скорость перемещения коронки <math>V_k = 2,1</math> м/мин; ширина захвата коронки <math>B_z = 0,95</math> м; минимальный диаметр коронки <math>D_{min} = 0,55</math> м; максимальный диаметр коронки <math>D_{max} = 0,95</math> м; коэффициент использования коронки по диаметру <math>k_d = 0,9</math>; сечение выработки в проходке <math>S_{пр} = 15</math> м<sup>2</sup>; шаг установки рам крепи <math>l = 1</math> м; коэффициент организации работ <math>кор = 1,3</math>; время несовмещенных вспомогательных операций <math>T_{во}</math></p>

Структурный элемент компетенции	Планируемые результаты обучения	Оценочные средства
		<p>= 55 мин; время простоев по эксплуатационно-организационным причинам <math>T_{эо} = 16</math> мин; продолжительность смены <math>T_{см} = 6</math> ч; <math>T_{м01}</math> – время ежесменного технического обслуживания комплекса, <math>T_{м01} = 0,5</math> часа; <math>T_{рп}</math> – время регламентированного перерыва, <math>T_{рп} = 0,33</math> часа.</p> <p>4. Рассчитать техническую и эксплуатационную скорость бурения для бурового станка БКГ-2 с бурильной головкой – перфоратором ГП-1. Расчётные данные: энергия удара перфоратора <math>A = 98</math> Дж; частота ударов <math>n = 90</math> с-1; диаметр шпура <math>d = 56</math> мм; коэффициент крепости пород <math>f = 20</math>; декремент затухания энергии силового импульса <math>\alpha = 0,03</math>; глубина шпура <math>L = 4,4</math> м; коэффициент готовности <math>k_g = 0,86</math>; число бурильных машин на установке <math>R = 2</math>; <math>k_o = 1; 0,8; 0,7</math> при числе бурильных машин соответственно 1; 2; 3; стойкость резца (коронки) на одну заточку <math>B = 15</math> м; скорость обратного хода <math>v_{ох} = 19</math> м/ мин время замены резца (коронки) <math>T_z = 5</math> мин; время наведения бурильной машины с одного шпура (скважины) на другой <math>T_n = 2</math> мин; время забуривания шпура (скважины) <math>T_{зб} = 1</math> мин; число шпуров в забое <math>m = 34</math>; длительность смены <math>T_{см} = 360</math> мин; время на подготовительно-заключительные операции <math>T_{пз} = 36</math> мин; время организационных простоев <math>T_{оп} = 28</math> мин; время перегона установки <math>T_p = 32</math> мин.</p> <p>5. Рассчитать техническую и эксплуатационную скорость бурения для бурового станка ПБУ-80М с бурильной головкой – перфоратором ПК75А. Расчётные данные: энергия удара перфоратора <math>A = 176</math> Дж; частота ударов <math>n = 37</math> с-1; диаметр шпура <math>d = 40</math> мм; коэффициент крепости пород <math>f = 16</math>; декремент затухания энергии силового импульса <math>\alpha = 0,04</math>; глубина шпура <math>L = 20</math> м; коэффициент готовности <math>k_g = 0,9</math>; число бурильных машин на установке <math>R = 1</math>; <math>k_o = 1</math>; стойкость резца (коронки) на одну заточку <math>B = 20</math> м; время навинчивания одной штанги <math>t_n = 0,5</math> мин; время развинчивания одной штанги <math>t_p = 1</math> мин; длина штанги <math>l = 1,22</math> м; время замены резца (коронки) <math>T_z = 4</math> мин; время наведения бурильной машины с одного шпура (скважины) на другой <math>T_n = 5</math> мин; время забуривания шпура (скважины) <math>T_{зб} = 1</math> мин; число шпуров в забое <math>m = 14</math>; длительность смены <math>T_{см} = 360</math> мин; время на подготовительно-заключительные операции <math>T_{пз} = 40</math> мин; время организационных простоев <math>T_{оп} = 60</math> мин; время перегона установки <math>T_p = 30</math> мин.</p>

Структурный элемент компетенции	Планируемые результаты обучения	Оценочные средства
		<p>6. Рассчитать для переносного перфоратора ПП36В мощность ударного механизма <math>N_{уд}</math>, мощность механизма вращения <math>N_{вр}</math>, суммарную мощность <math>N_{\Sigma}</math>, удельный расход воздуха <math>q</math> и скорость бурения <math>v</math>. Построить графики зависимостей <math>v = f(d)</math> и <math>v = f(\sigma)</math>.</p> <p>Расчётные данные:  Энергия удара поршня - <math>A_{уд} = 36</math> Дж; частота ударов-<math>n = 38,33</math> с-1; крутящий момент <math>M = 20</math> Н·м; частота вращения бурового инструмента - <math>n_{вр} = 1,54</math> с-1; расхода воздуха - <math>Q = 2,8</math> м<sup>3</sup>/мин; диаметр шпура - <math>d = 32</math> мм, буримая порода – среднезернистый песчаник (временное сопротивление раздавливанию <math>\sigma = 12</math> МПа).</p> <p>7. Рассчитать для переносного перфоратора ПП63В мощность ударного механизма <math>N_{уд}</math>, мощность механизма вращения <math>N_{вр}</math>, суммарную мощность <math>N_{\Sigma}</math>, удельный расход воздуха <math>q</math> и скорость бурения <math>v</math>. Построить графики зависимостей <math>v = f(d)</math> и <math>v = f(\sigma)</math>.</p> <p>Расчётные данные: Энергия удара поршня - <math>A_{уд} = 63,74</math> Дж; частота ударов - <math>n = 30</math> с-1; крутящий момент <math>M = 26,93</math> Н·м; частота вращения бурового инструмента - <math>n_{вр} = 1,54</math> с-1; расхода воздуха - <math>Q = 3,85</math> м<sup>3</sup>/мин; диаметр шпура - <math>d = 46</math> мм, буримая порода – гранодиорит (временное сопротивление раздавливанию <math>\sigma = 95,3</math> МПа).</p> <p>8. Рассчитать основные показатели, производительность и скорость бурения бурового станка НКР100М с пневмоударником ПП105-2,4. Расчётные данные: энергия удара <math>A = 93,2</math> Дж; частота ударов <math>n = 28</math> с-1; диаметр долота <math>d = 105</math> мм; коэффициент крепости пород <math>f = 14</math>; коэффициент падения скорости бурения с глубиной скважины <math>\beta = 0,0004</math> м-1; глубина скважины <math>L = 40</math> м; коэффициент готовности станка <math>k_g = 0,9</math>; стойкость долота на одну заточку <math>B = 15</math> м; время навинчивания одной штанги <math>t_n = 0,5</math> мин; время развинчивания одной штанги <math>t_r = 1</math> мин; длина штанги <math>l = 1</math> м; время замены долота <math>T_z = 4</math> мин; время наведения станка на скважину <math>T_n = 4</math> мин; время забуривания скважины <math>T_{зб} = 1</math> мин; число скважин в забое <math>m = 14</math>; длительность смены <math>T_{см} = 360</math> мин; время на подготовительно-заключительные операции <math>T_{пз} = 20</math> мин; время организационных простоев <math>T_{оп} = 10</math> мин; время перегона станка <math>T_{п} = 20</math> мин.</p> <p>9. Определить машинное время работы комбайна по добыче <math>t_p</math>, коэффициент</p>

Структурный элемент компетенции	Планируемые результаты обучения	Оценочные средства
		<p>совершенства схемы работы оборудования комплекса кс, эксплуатационную производительность <math>Q_{э}</math> для очистного комбайнового комплекса КМ138, В состав комплекса входит комбайн РКУ13. Расчётные данные: вынимаемая мощность пласта <math>m = 1,8</math> м; длина лавы <math>L = 180</math> м; ширина захвата очистного комбайна <math>B_з = 0,63</math> м; плотность угля <math>\gamma = 1,35</math> т/м<sup>3</sup>; скорость подачи комбайна <math>V_{п} = 5</math> м/мин; затраты времени на выполнение вспомогательных операций (концевых, маневровых, по зачистке забоя) <math>t_{во} = 30</math> мин (за один рабочий цикл); коэффициент готовности, отражающий уровень надёжности оборудования комплекса <math>k_g = 0,82</math>; коэффициент непрерывности работы комплекса, учитывающий простои по организационным и эксплуатационным причинам <math>k_{э.о} = 0,90</math>.</p> <p>10. Рассчитать площадь разрабатываемой груди забоя <math>S</math>, время цикла по отработке забоя на ширину обделки <math>T_{ц}</math>, число циклов по отработке забоя на ширину кольца крепи <math>p</math>, коэффициент технически возможной непрерывной работы комплекса по проходке и сооружению тоннеля <math>k_{п}</math>, – коэффициент непрерывности работы комплекса в процессе эксплуатации <math>k_{э}</math>, теоретическую, техническую и эксплуатационную производительность проходческого щитового комплекса КТ1-5,6Э. Расчётные данные: глубина врезания лопаты в грунт данной категории <math>h_f = 0,25</math> м; диаметр щита <math>D_{щ} = 5,63</math> м; время цикла по отработке забоя на глубину (<math>h_f</math>) врезания <math>t_z = 16</math> мин; ширина обделки <math>B = 0,75</math> м; несовмещенное с разработкой забоя и другими операциями время на откатку вагонеток и подачу блоков обделки <math>t_{пр} = 20</math> мин; время установки кольца обделки <math>t_{кр} = 10</math> мин; не совмещенное время тампонажных работ <math>t_{там} = 40</math> мин; время передвижки щита на ширину кольца обделки <math>t_{пер} = 4</math> мин; время устранения отказов за цикл <math>t_{ун} = 2</math> мин/цикл; время простоев по эксплуатационно-организационным причинам (за цикл) <math>t_{э.о} = 3</math> мин.</p> <p>11. Рассчитать для переносного перфоратора ПП63В мощность ударного механизма <math>N_{уд}</math>, мощность механизма вращения <math>N_{вр}</math>, суммарную мощность <math>N_{\Sigma}</math>, удельный расход воздуха <math>q</math> и скорость бурения <math>v</math>. Построить графики зависимостей <math>v = f(d)</math> и <math>v = f(\sigma)</math>.</p> <p>Расчётные данные:  Энергия удара поршня - <math>A_{уд} = 63,74</math> Дж; частота ударов - <math>n = 30</math> с-1; крутящий</p>

Структурный элемент компетенции	Планируемые результаты обучения	Оценочные средства
		<p>момент <math>M = 26,93 \text{ Н}\cdot\text{м}</math>; частота вращения бурового инструмента - <math>n_{вр} = 1,03 \text{ с}^{-1}</math>; расхода воздуха - <math>Q = 3,85 \text{ м}^3/\text{мин}</math>; диаметр шпура - <math>d = 42 \text{ мм}</math>, буримая порода – бакальский кварцит (временное сопротивление раздавливанию <math>\sigma = 190 \text{ МПа}</math>).</p> <p>12. Рассчитать для переносного перфоратора ПП63В мощность ударного механизма <math>N_{уд}</math>, мощность механизма вращения <math>N_{вр}</math>, суммарную мощность <math>N_{\Sigma}</math>, удельный расход воздуха <math>q</math> и скорость бурения <math>v</math>. Построить графики зависимостей <math>v = f(d)</math> и <math>v = f(\sigma)</math>.</p> <p>Расчётные данные:  Энергия удара поршня - <math>A_{уд} = 63,74 \text{ Дж}</math>; частота ударов - <math>n = 30 \text{ с}^{-1}</math>; крутящий момент <math>M = 26,93 \text{ Н}\cdot\text{м}</math>; частота вращения бурового инструмента - <math>n_{вр} = 1,03 \text{ с}^{-1}</math>; расхода воздуха - <math>Q = 3,85 \text{ м}^3/\text{мин}</math>; диаметр шпура - <math>d = 40 \text{ мм}</math>, буримая порода – кристаллический сидерит (временное сопротивление раздавливанию <math>\sigma = 139 \text{ МПа}</math>).</p> <p>13. Определить эксплуатационную производительность <math>Q_{э}</math> проходческого комбайна ГПКС со стреловидным исполнительным органом. Исходные данные: скорость перемещения коронки <math>V_k = 0,01 \text{ м/с}</math>; ширина захвата коронки <math>B_z = 0,8 \text{ м}</math>; минимальный диаметр коронки <math>D_{min} = 0,5 \text{ м}</math>; максимальный диаметр коронки <math>D_{max} = 0,9 \text{ м}</math>; коэффициент использования коронки по диаметру <math>k_d = 0,9</math>; сечение выработки в проходке <math>S_{пр} = 12 \text{ м}^2</math>; шаг установки рам крепи <math>l = 1 \text{ м}</math>; коэффициент организации работ <math>k_{ор} = 1,2</math>; время несовмещенных вспомогательных операций <math>T_{во} = 45 \text{ мин}</math>; время простоев по эксплуатационно-организационным причинам <math>T_{эо} = 8 \text{ мин}</math>; продолжительность смены <math>T_{см} = 6 \text{ ч}</math>; <math>T_{м01}</math> – время ежесменного технического обслуживания комплекса, <math>T_{м01} = 0,5 \text{ часа}</math>; <math>T_{рп}</math> – время регламентированного перерыва, <math>T_{рп} = 0,33 \text{ часа}</math>.</p> <p>14. Рассчитать для переносного перфоратора ПП54В1 мощность ударного механизма <math>N_{уд}</math>, мощность механизма вращения <math>N_{вр}</math>, суммарную мощность <math>N_{\Sigma}</math>, удельный расход воздуха <math>q</math> и скорость бурения <math>v</math>. Построить графики зависимостей <math>v = f(d)</math> и <math>v = f(\sigma)</math>.</p> <p>Расчётные данные:  Энергия удара поршня - <math>A_{уд} = 55,5 \text{ Дж}</math>; частота ударов - <math>n = 39,16 \text{ с}^{-1}</math>; крутящий момент <math>M = 29,43 \text{ Н}\cdot\text{м}</math>; частота вращения бурового инструмента - <math>n_{вр} = 1,03 \text{ с}^{-1}</math>;</p>

Структурный элемент компетенции	Планируемые результаты обучения	Оценочные средства
		<p>расхода воздуха - <math>Q = 4,1</math> м<sup>3</sup>/мин; диаметр шпура - <math>d = 40</math> мм, буримая порода – серицитизированный диабаз (временное сопротивление раздавливанию <math>\sigma = 107</math> МПа).</p> <p>15. Рассчитать техническую и эксплуатационную скорость бурения для бурового станка БК-2П с бурильной головкой – перфоратором ПК60А.</p> <p>Расчётные данные: энергия удара перфоратора <math>A = 95</math> Дж; частота ударов <math>n = 45</math> с-1; диаметр шпура <math>d = 45</math> мм; коэффициент крепости пород <math>f = 10</math>; декремент затухания энергии силового импульса <math>\alpha = 0,05</math>; глубина шпура <math>L = 3,8</math> м; коэффициент готовности <math>k_g = 0,9</math>; число бурильных машин на установке <math>R = 2</math>; скорость обратного хода бурильной головки <math>v_{ох} = 13</math> м/мин; <math>k_o = 0,8</math>; стойкость резца (коронки) на одну заточку <math>B = 15</math> м; время замены резца (коронки) <math>T_z = 7</math> мин; время наведения бурильной машины с одного шпура (скважины) на другой <math>T_n = 3</math> мин; время забуривания шпура (скважины) <math>T_{зб} = 1</math> мин; число шпуров в забое <math>m = 30</math>; длительность смены <math>T_{см} = 360</math> мин; время на подготовительно-заключительные операции <math>T_{пз} = 42</math> мин; время организационных простоев <math>T_{оп} = 34</math> мин; время перегона установки <math>T_{п} = 28</math> мин.</p>

## **б) Порядок проведения промежуточной аттестации, показатели и критерии оценивания:**

Промежуточная аттестация по дисциплине «Горные машины и оборудование» включает теоретические вопросы, позволяющие оценить уровень усвоения обучающимися знаний, и практические задания, выявляющие степень сформированности умений и владений, проводится в форме зачета.

**Зачет** по данной дисциплине проводится в устной форме по теоретическим вопросам.

### **Показатели и критерии оценивания зачета:**

– на оценку «**зачтено**» – обучающийся демонстрирует уровень сформированности компетенций выше порогового: основные знания, умения освоены, но допускаются незначительные ошибки, неточности, затруднения при аналитических операциях, переносе знаний и умений на новые, нестандартные ситуации.

– на оценку «**не зачтено**» – обучающийся демонстрирует знания не более 20% теоретического материала, допускает существенные ошибки, не может показать интеллектуальные навыки решения простых задач.

## **8 Учебно-методическое и информационное обеспечение дисциплины (модуля)**

### **а) Основная литература:**

1. Колесников, В. Ф. *Технология и комплексная механизация открытых горных работ : учебное пособие* / В. Ф. Колесников. — Кемерово : КузГТУ имени Т.Ф. Горбачева, 2017. — 189 с. — ISBN 978-5-906969-10-1. — Текст : электронный // Лань : электронно-библиотечная система. — URL: <https://e.lanbook.com/book/105426>.

2. Цехин, А. М. *Горные машины и проведение горных выработок : учебное пособие* / А. М. Цехин, А. Ю. Борисов. — Кемерово : КузГТУ имени Т.Ф. Горбачева, 2013. — 176 с. — Текст : электронный // Лань : электронно-библиотечная система. — URL: <https://e.lanbook.com/book/69539>.

3. Шевырëв, Ю. В. *Автоматизация горных машин и установок : учебник* / Ю. В. Шевырëв, О. М. Соснин, Н. Ю. Шевырева. — Москва : МИСИС, 2019. — 320 с. — ISBN 978-5-906953-97-1. — Текст : электронный // Лань : электронно-библиотечная система. — URL: <https://e.lanbook.com/book/116929>.

### **б) Дополнительная литература:**

1. Тургель Д.К. *Горные машины и оборудование подземных разработок: Учебно-методическое пособие.* – Екатеринбург: Издательство УГГУ. 2007. - 302 с.

2. Зайков, В. И. *Эксплуатация горных машин и оборудования : учебник* / В. И. Зайков, Г. П. Берлявский. — 3-е изд. — Москва : Горная книга, 2001. — 257 с. — ISBN 5-7418-0433-0. — Текст : электронный // Лань : электронно-библиотечная система. — URL: <https://e.lanbook.com/book/3444>.

### **в) Методические указания:**

1. Решетникова, Е. С. *Создание проектно-конструкторской документации : учебное пособие. Ч. 1. Эскизирование деталей машин* / Е. С. Решетникова, Е. А. Свистунова, Е. Б. Скурихина ; МГТУ. - Магнитогорск : МГТУ, 2018. - 1 электрон. опт. диск (CD-ROM). – URL: <https://magtu.informsystema.ru/uploader/fileUpload?name=3722.pdf&show=dcatalogues/1/1527711/3722.pdf&view=true> (дата обращения: 09.10.2019). - Макрообъект. - Текст : электронный.

2. Козырь, А. В. *Строительные и дорожные машины : конспект лекций* / А. В. Козырь. - Магнитогорск : МГТУ, 2012. - 1 электрон. опт. диск (CD-ROM). - URL: <https://magtu.informsystema.ru/uploader/fileUpload?name=1058.pdf&show=dcatalogues/1/1119408/1058.pdf&view=true> (дата обращения: 04.10.2019). - Макрообъект. - Текст : электронный.

3. Белан, А. К. *Проектирование и исследование механизмов металлургических машин : учебное пособие* / А. К. Белан, Е. В. Куликова, О. А. Белан ; МГТУ. - Магнитогорск : МГТУ,

2018. - 1 электрон. опт. диск (CD-ROM). - URL: <https://magtu.informsystema.ru/uploader/fileUpload?name=3520.pdf&show=dcatalogues/1/1514338/3520.pdf&view=true> (дата обращения: 04.10.2019). - Макрообъект. - Текст : электронный. - ISBN 978-5-9967-1113-0.

### г) Программное обеспечение и Интернет-ресурсы:

Программное обеспечение:

Наименование ПО	№ договора	Срок действия лицензии
MS Windows 7	Д-1227 от 08.10.2018	11.10.2021
MS Office 2007	№ 135 от 17.09.2007	бессрочно
7Zip	свободно распространяемое	бессрочно
Autodesk AcademicEdition Master Suite Autocad Civil 3D 2011	К-526-11 от 22.11.2011	бессрочно
Autodesk AcademicEdition Master Suite Autocad MEP 2011	К-526-11 от 22.11.2011	бессрочно
Geovia Surpac	vgr-077 от 01.09.2012	бессрочно

### Интернет-ресурсы:

1. Национальная информационно-аналитическая система – Российский индекс научного цитирования (РИНЦ) [Электронный ресурс]. – URL: <https://elibrary.ru/defaultx.asp> – Загл. с экрана.
2. Поисковая система Академия Google (Google Scholar) [Электронный ресурс]. – URL: – URL: <https://scholar.google.ru/> – Загл. с экрана.
3. Учебный фильм - горные работы [Электронный ресурс]. – URL: <https://yandex.ru/video/preview/?filmId=13146773981173894291&text=ютюб+открытые+горные+работы+это+интересно> – Загл. с экрана.

### 9 Материально-техническое обеспечение дисциплины

Материально-техническое обеспечение дисциплины включает:

Тип и название аудитории	Оснащение аудитории
Учебные аудитории для проведения занятий лекционного типа	Мультимедийные средства хранения, передачи и представления информации, макеты
Учебные аудитории для проведения практических занятий, групповых и индивидуальных консультаций, текущего контроля и промежуточной аттестации	Персональные компьютеры с пакетом MS Office, Autodesk Autocad, Surpac и с доступом в электронную информационно-образовательную среду университета
Помещение для самостоятельной работы обучающихся	Персональные компьютеры с пакетом MS Office, выходом в интернет и с доступом в электронную информационно-образовательную среду университета
Помещение для хранения и профилактического обслуживания учебного оборудования	Стеллажи, сейфы для хранения учебно-методической документации, учебного оборудования и учебно-наглядных пособий